

Έρπουσα ροή ($Re \ll 1$)

Κατηγοριοποίηση ροών με Βάση τον αριθμό Reynolds

$$\rho \left(\frac{\partial \underline{u}}{\partial t} + \underline{u} \cdot \nabla \underline{u} \right) = -\nabla p + \mu \nabla^2 \underline{u} + \rho \underline{g}$$

αδρανειακές δυνάμεις
(επιτάχυνση)

Ιξώδεις δυνάμεις
δυνάμεις πίεσης

Χαρ/κή ταχύτητα: U Χαρ/κό μήκος: L

Σύγκριση αδρανειακών με ιξώδεις δυνάμεις

$$\frac{|\rho \underline{u} \cdot \nabla \underline{u}|}{|\mu \nabla^2 \underline{u}|} \sim \frac{\rho U(U/L)}{\mu U/L^2} = \frac{\rho UL}{\mu} = \mathbf{Re}$$

Αδιαστατοποίηση εξίσωσης Navier-Stokes

$$\hat{\underline{u}} = \underline{u}/U \quad \hat{\underline{x}} = \underline{x}/L \quad \hat{t} = tU/L$$

Η πίεση εξισορροπεί την κυρίαρχη δύναμη

$$Re \gg 1 \Rightarrow \Delta p \sim \rho U^2$$

$$Re \ll 1 \Rightarrow \Delta p \sim \mu U/L$$

Re << 1: Έρπουσα ροή

$$Re \left(\frac{\partial \hat{\underline{u}}}{\partial \hat{t}} + \hat{\underline{u}} \cdot \hat{\nabla} \hat{\underline{u}} \right) = -\hat{\nabla} \hat{p} + \nabla^2 \hat{\underline{u}}$$

Re >> 1: Αδρανειακή ροή

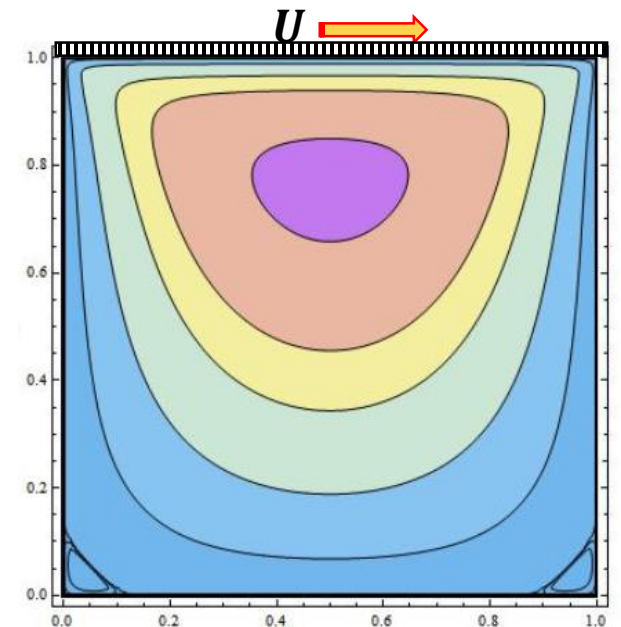
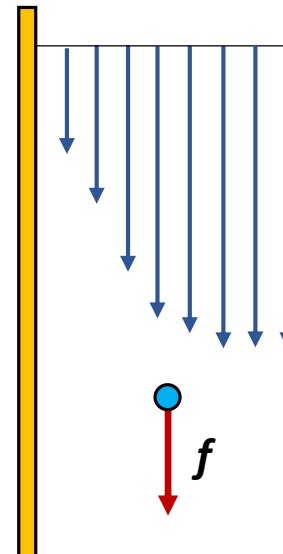
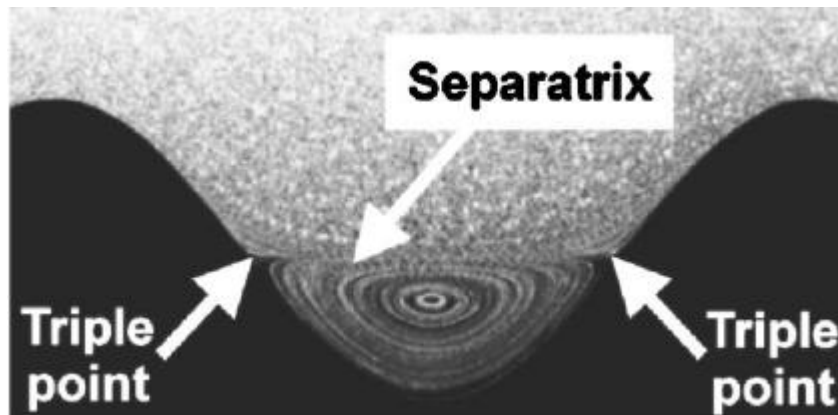
$$\frac{\partial \hat{\underline{u}}}{\partial \hat{t}} + \hat{\underline{u}} \cdot \hat{\nabla} \hat{\underline{u}} = -\hat{\nabla} \hat{p} + \frac{1}{Re} \nabla^2 \hat{\underline{u}}$$

$$-\nabla p + \mu \nabla^2 \underline{u} = 0$$

Ακριβής ισορροπία ιξωδών δυνάμεων και δυνάμεων πίεσης

(\underline{u}, p) λύση $\rightarrow (-\underline{u}, -p)$ είναι επίσης λύση

- Ροή με συμμετρικό σύνορο είναι συμμετρική
 - Η δύναμη σε σωματίδιο που κινείται κοντά σε τοίχωμα είναι παράλληλη με το τοίχωμα
 - Η έρπουσα ροή είναι αντιστρεπτή (χρονική εξάρτηση μόνο μέσω των συνοριακών συνθηκών)
- www.youtube.com/watch?v=QcBpDVzBPMk (2-3,5 min)



Η μέθοδος των ιδιόμορφων λύσεων

$$\underline{\nabla} \cdot \underline{u} = 0$$

$$\mu \underline{\nabla}^2 \underline{u} = \underline{\nabla} p$$

Γραμμική εξίσωση ως προς τους άγνωστους p και \underline{u}

Κατασκευή λύσεων με γραμμικό συνδυασμό απλούστερων



Ροή γύρω από στερεό σώμα

$$\underline{u} = \underline{u}_\infty + \underline{u}_s$$

\underline{u}_∞ : Το πεδίο ταχύτητας μακριά από το σώμα, πχ $u_i = U_i$ (σταθερή ταχύτητα) ή $u_i = A_{ij}x_j$ (γραμμικό πεδίο)

\underline{u}_s : Ιδιόμορφη λύση $\lim_{r \rightarrow \infty} \underline{u}_s = 0$ και $\lim_{r \rightarrow 0} \underline{u}_s = \infty$ («διαφοροποιεί» το πεδίο ταχύτητας κοντά στο σώμα)

Παραγωγή ιδιόμορφων λύσεων

$$\underline{\nabla} \cdot \underline{u} = 0$$

$$\mu \underline{\nabla}^2 \underline{u} = \underline{\nabla} p$$

$$\Rightarrow \nabla^2 p = 0$$

Ιδιόμορφες λύσεις της πίεσης:

$$p(\underline{x}) = 0, \quad \frac{A_0}{r}, \quad A_j \frac{\partial}{\partial x_j} \left(\frac{1}{r} \right) = \frac{A_j x_j}{r^3}, \quad B_{jk} \frac{\partial}{\partial x_k} \left(\frac{x_j}{r^3} \right)$$

$$\mu \underline{\nabla}^2 u_i = \frac{\partial p}{\partial x_i} = \frac{\partial}{\partial x_i} \left(\frac{A_j x_j}{r^3} \right) = A_j \left(\frac{\delta_{ij}}{r^3} - 3 \frac{x_i x_j}{r^5} \right)$$

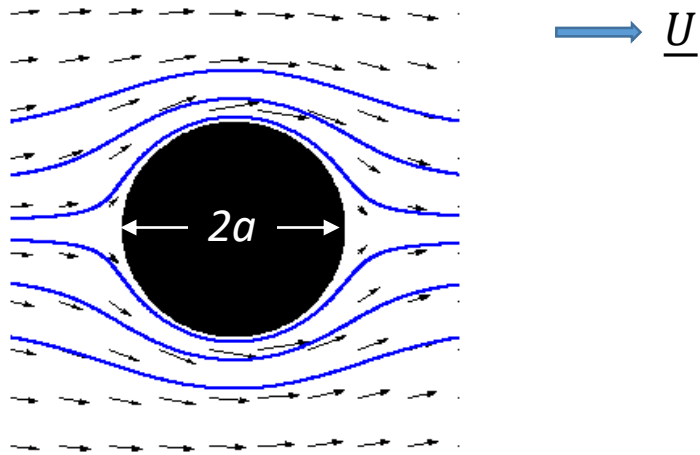
Πεδίο ταχύτητας λόγω σημειακής δύναμης (Stokeslet)

$$u_i = \frac{A_j}{2\mu} \left(\frac{\delta_{ij}}{r} + \frac{x_i x_j}{r^3} \right), \quad p = \frac{A_j x_j}{r^3}$$

Μαντεύουμε

$$\text{λύση της μορφής: } u_i = A_j \left(\frac{a \delta_{ij}}{r^m} + \frac{b x_i x_j}{r^n} \right)$$

Έρπουσα ροή γύρω από σφαίρα



Αναγκαίες συνθήκες για την ιδιόμορφη συνιστώσα

$$\left. \begin{array}{l} \underline{u} = \underline{u}_\infty + \underline{u}_s \\ \underline{u}_\infty = \underline{U} \end{array} \right\} \Rightarrow \begin{array}{l} r \rightarrow \infty : \underline{u}_s \rightarrow 0 \\ r = a : \underline{u}_s = -\underline{U} \end{array}$$

Επειδή η συνθήκη έχει μία διανυσματική σταθερά, θα επιλέξουμε αντίστοιχες ιδιόμορφες λύσεις

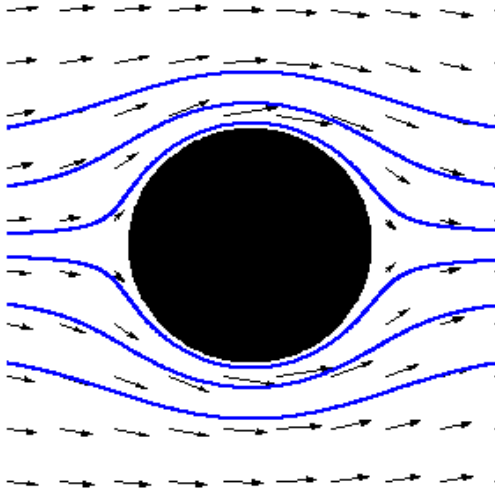
$$u_i(\underline{x}) = A_j \left(\frac{\delta_{ij}}{r} + \frac{x_i x_j}{r^3} \right) + B_j \left(\frac{-\delta_{ij}}{r^3} + 3 \frac{x_i x_j}{r^5} \right) \Rightarrow u_i(r = a) = -U_i = \delta_{ij} \left(\frac{A_j}{a} - \frac{B_j}{a^3} \right) + x_i x_j \left(\frac{A_j}{a^3} + 3 \frac{B_j}{a^5} \right) \Rightarrow \begin{cases} B_j = -\frac{1}{3} a^2 A_j \\ A_j = -\frac{3}{4} a U_j \end{cases}$$

$$u_i(\underline{x}) = U_i - \frac{3}{4} a U_j \left(\frac{\delta_{ij}}{r} + \frac{x_i x_j}{r^3} \right) + \frac{1}{4} a^3 U_j \left(\frac{-\delta_{ij}}{r^3} + 3 \frac{x_i x_j}{r^5} \right), \quad p = -\frac{3}{2} \mu a U_j \frac{x_j}{r^3}$$

Η δύναμη στη σφαίρα (νόμος Stokes)

$$F_i = \int_{r=a} \sigma_{ij} n_j dS, \quad \sigma_{ij} = -p \delta_{ij} + \mu \left(\frac{\partial u_i}{\partial x_j} + \frac{\partial u_j}{\partial x_i} \right) \Rightarrow F_i = 6\pi \mu a U_i$$

Εφαρμογές έρπουσας ροής γύρω από σφαίρα



Νόμος Stokes

$$\underline{F} = 6\pi\mu a \underline{U}_\infty$$

$$Re < 1$$

Γενικότερα, συντελεστής οπισθέλκουσας C_D

$$F = C_D \left(\frac{1}{2} \rho U_\infty^2 \right) (\pi a^2) \quad Re = \frac{\rho U_\infty a}{\mu} < 1 \Rightarrow C_D = \frac{12}{Re} = \frac{24}{Re_d}$$

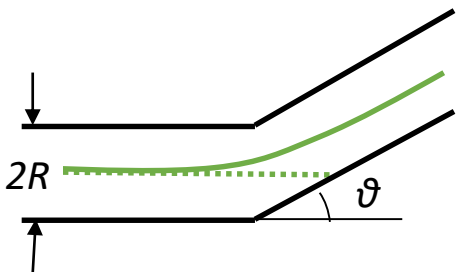
Εφαρμογές

Ταχύτητα ελεύθερης πτώσης - Σχεδιασμός διαχωριστών φάσεων - Φυγοκέντριση

$$\frac{4}{3} \pi a^3 \rho_p g = \frac{4}{3} \pi a^3 \rho g + 6\pi\mu a u_p \Rightarrow u_p = \frac{2a^2(\rho_p - \rho)g}{9\mu} = \frac{d_p^2(\rho_p - \rho)g}{18\mu}$$

Χαρακτηριστικός χρόνος απόκρισης σε αλλαγή ταχύτητας- Αδρανειακή πρόσκρουση

$$m_p \frac{du_p}{dt} = 6\pi\mu a (U - u_p) \Rightarrow u_p = U(1 - e^{-t/\tau}), \quad \tau = \frac{m_p}{6\pi\mu a} = \frac{2a^2 \rho_p}{9\mu}$$



$$\text{Αριθμός Stokes: } St = \frac{\tau}{L/U} = \frac{\text{χαρ/κός χρόνος απόκρισης}}{\text{χαρ/κός χρόνος πρόσκρουσης}} = \frac{2a^2 \rho_p U \tan \vartheta}{9\mu R}$$

Διάχυση Brown (μικρά σωματίδια-μεγάλα μόρια)

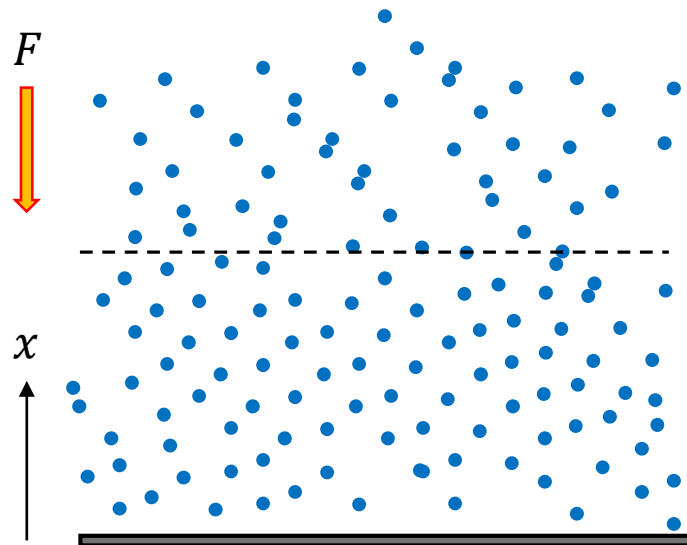
Μοριακή Θερμοδυναμική-Στατιστική Μηχανική

Κάθε στοιχειώδες σωματίδιο έχει την ίδια μέση κινητική ενέργεια (θερμοκρασία)

$$m\langle u^2 \rangle / 2 = 3kT / 2$$

Η συγκέντρωση σωματιδίων στο χώρο ικανοποιεί την κατανομή Boltzmann, όπου $U(\underline{x})$ η δυναμική ενέργεια λόγω αλληλεπίδρασης με εξωτερικές δυνάμεις και γειτονικά σωματίδια

$$C(\underline{x}) = C_0 e^{-U(\underline{x})/kT}$$



Παράδειγμα σταθερής δύναμης

Ροή λόγω διάχυσης (τυχαία κίνηση)

Ροή λόγω δύναμης (συντεταγμένη κίνηση)

$$\left. \begin{aligned} n &= -\mathcal{D} \frac{dC}{dx} + uC = 0 \\ F &= 6\pi\mu a u \end{aligned} \right\} \frac{dC}{C} = \frac{F dx}{6\pi\mu a \mathcal{D}} = -\frac{dU}{6\pi\mu a \mathcal{D}}$$

Η συγκέντρωση ισορροπίας θα διαμορφωθεί ώστε να ικανοποιεί την κατανομή Boltzmann:

$$\frac{dC}{C} = -\frac{dU}{kT}$$

$$\mathcal{D} = \frac{kT}{6\pi\mu a}$$

(Εξίσωση Einstein)

$x \sim L, y \sim H$

$$\varepsilon = H/L \ll 1$$

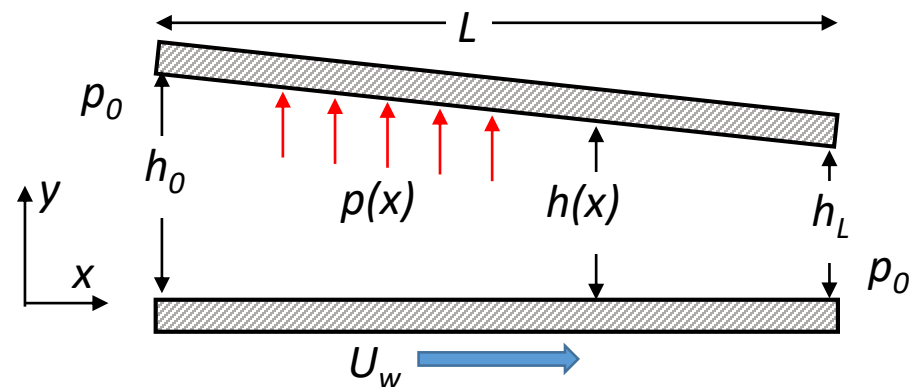
Μεγάλη διαφοροποίηση κλιμάκων μήκους

$$\underbrace{\frac{\partial u}{\partial t}}_{U^2/L} + \underbrace{u \frac{\partial u}{\partial x}}_{U^2/L} + \underbrace{v \frac{\partial u}{\partial y}}_{U^2/L} = -\frac{1}{\rho} \frac{\partial p}{\partial x} + \underbrace{\nu \left(\frac{\partial^2 u}{\partial x^2} + \frac{\partial^2 u}{\partial y^2} \right)}_{\nu U/L^2 \quad \nu U/H^2}$$

$$\nu U/H^2 \gg U^2/L \Leftrightarrow \varepsilon^2 Re \ll 1$$

$$\mu \frac{\partial^2 u}{\partial y^2} \approx \frac{\partial p}{\partial x}, \quad \frac{\partial p}{\partial y} \approx 0$$

Υδροδυναμική λίπανση



$$Q = \int_0^h u \, dy = \frac{1}{2} U_w h - \frac{h^3}{12\mu} \frac{dp}{dx}$$

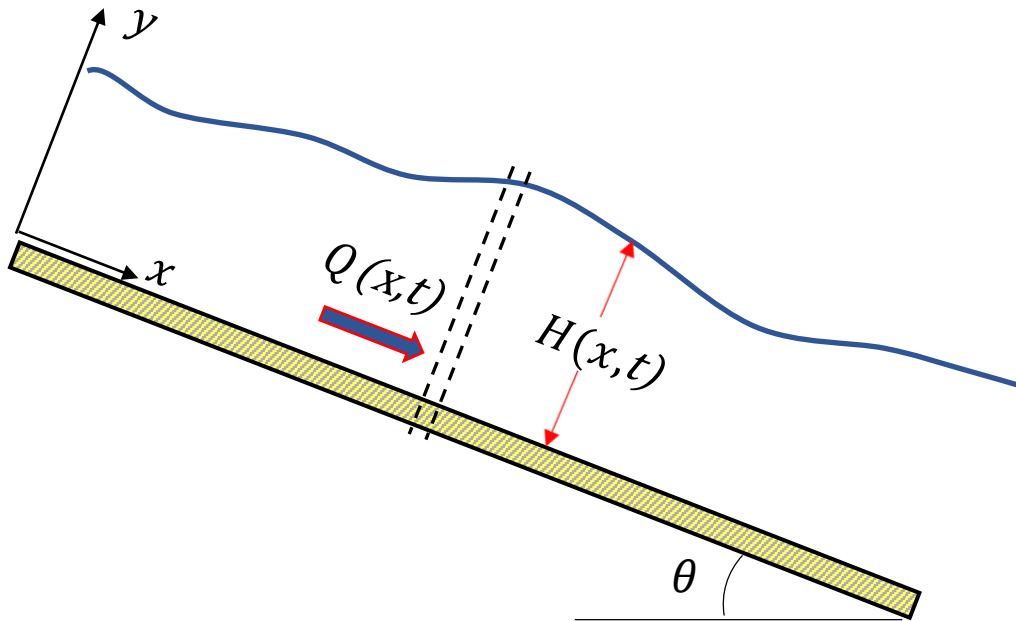
Μονοδιάστατη ροή για το τοπικό ύψος καναλιού

$$u(x, y) = U_w \left(1 - \frac{y}{h}\right) - \frac{y}{h} \left(1 - \frac{y}{h}\right) \frac{h^2}{2\mu} \frac{dp}{dx}$$

$$\frac{dp}{dx} = \frac{6\mu U_w}{h^2} - \frac{12\mu Q}{h^3}$$

$$p(0) = p(L)$$

$$\Rightarrow Q = \frac{U_w \int_0^L (1/h^2(x)) \, dx}{2 \int_0^L (1/h^3(x)) \, dx}$$



Ισοζύγιο μάζας

$$\left. \begin{aligned} H_t + u(H)H_x &= v(H) \\ u_x + v_y &= 0 \end{aligned} \right\} \Rightarrow \boxed{H_t + Q_x = 0}$$

$$\left[[Q(x) - Q(x + dx)]dt = [H(t + dt) - H(t)]dx \right]$$

$$\left. \begin{aligned} x \sim L, y \sim H, \varepsilon = H/L \ll 1 &\Rightarrow \mu \frac{\partial^2 u}{\partial y^2} \approx -\rho g \sin\theta + \frac{\partial p}{\partial x} \\ -\frac{\partial p}{\partial y} + \rho g_y = 0 &\Rightarrow p(x, y) = p(x, H) + \rho g \cos\theta (H - y) \\ p(x, H) = -\gamma\kappa = -\gamma \frac{H_{xx}}{(1 + H_x^2)^{3/2}} &\approx -\gamma H_{xx} \end{aligned} \right\} \Rightarrow$$

$$u(x, y) = \frac{1}{2\mu} (\rho g \sin\theta - \rho g \cos\theta H_x + \gamma H_{xxx}) y(2H - y) \Rightarrow Q = \int_0^H u dy = \frac{H^3}{3\mu} (\rho g \sin\theta - \rho g \cos\theta H_x + \gamma H_{xxx})$$

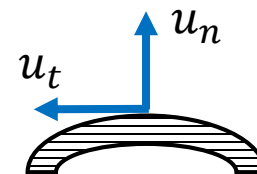
$$\boxed{H_t + \left[\frac{H^3}{3\mu} (\rho g \sin\theta - \rho g \cos\theta H_x + \gamma H_{xxx}) \right]_x = 0}$$

Ιδανική ροή ($Re \rightarrow \infty$)

$$\rho \left(\frac{\partial \underline{u}}{\partial t} + \underline{u} \cdot \nabla \underline{u} \right) = \rho \frac{D\underline{u}}{Dt} = -\nabla p + \mu \nabla^2 \underline{u} + \rho \underline{g}$$

$$\frac{|\rho \underline{u} \cdot \nabla \underline{u}|}{|\mu \nabla^2 \underline{u}|} \sim \frac{UL}{\nu} = Re = \frac{L^2 U}{\nu L} = \frac{\tau_{viscous}}{\tau_{inertial}} \gg 1$$

- Ικανοποιείται μόνον η συνοριακή συνθήκη μη-διείσδυσης
- Δεν παράγεται στροβιλότητα στα στερεά τοιχώματα
- Γρήγορες μεταβολές που δεν προλαβαίνουν να επηρεαστούν από ιξώδεις δυνάμεις
- Οριακό στρώμα στροβιλότητας δεν αποκολλάται



Συνάρτηση δυναμικού

$$\underline{\omega} = \nabla \times \underline{u} = 0 \Rightarrow \underline{u} = \nabla \varphi$$

$$\nabla \cdot \underline{u} = 0$$

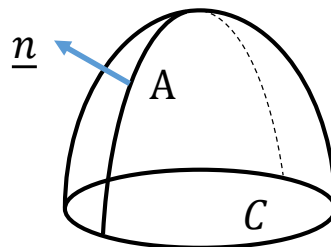
Εξίσωση Bernoulli (αποσύνδεση κινηματικής από δυναμική)

$$\underline{u} \cdot (\nabla \underline{u}) = \underline{\omega} \times \underline{u} + \nabla \left(\frac{1}{2} \underline{u} \cdot \underline{u} \right) \Rightarrow$$

$$\nabla \left(\frac{\partial \varphi}{\partial t} + \frac{1}{2} |\underline{u}|^2 + \frac{p}{\rho} - \underline{g} \cdot \underline{x} \right) = 0$$

Θεώρημα Stokes – Θεώρημα Kelvin

$$\Gamma = \int_A (\nabla \times \underline{u}) \cdot \underline{n} dA = \int_A \underline{\omega} \cdot \underline{n} dA = \oint_C \underline{u} \cdot d\underline{l}$$



$$\frac{D\Gamma}{Dt} = 0, \quad \underline{\omega} = 0 \Rightarrow \Gamma = 0$$

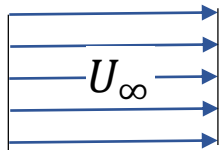
Το ρευστό διατηρεί και μεταφέρει τη στροβιλότητα

Στοιχειώδεις ροές και σύνθεση λύσεων

$$\left. \begin{array}{l} \nabla \cdot \underline{u} = 0 \\ \underline{u} = \nabla \varphi \end{array} \right\} \Rightarrow \boxed{\nabla^2 \varphi = 0}$$

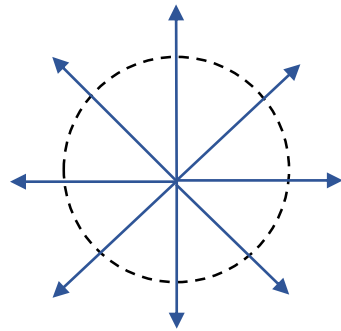
- Η εξίσωση Laplace είναι γραμμική: γραμμικός συνδυασμός λύσεων είναι επίσης λύση
- Κάθε ροϊκή γραμμή μπορεί να θεωρηθεί στερεό σύνορο της ροής (συνθήκη ολίσθησης)

Ομοιόμορφη ροή



$$\varphi = U_\infty x$$

$$(u_x, u_y) = (U_\infty, 0)$$

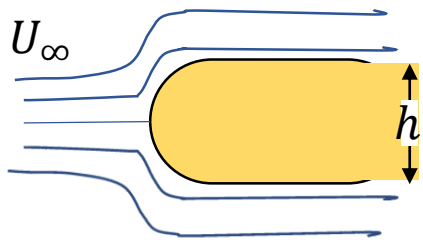


Σημειακή πηγή/καταβόθρα (2-D)

$$\varphi = \frac{M}{2\pi} \ln r, \quad u_r = \frac{M}{2\pi r}, \quad u_\theta = 0, \quad (u_x, u_y) = \left(\frac{Mx}{2\pi r^2}, \frac{My}{2\pi r^2} \right)$$

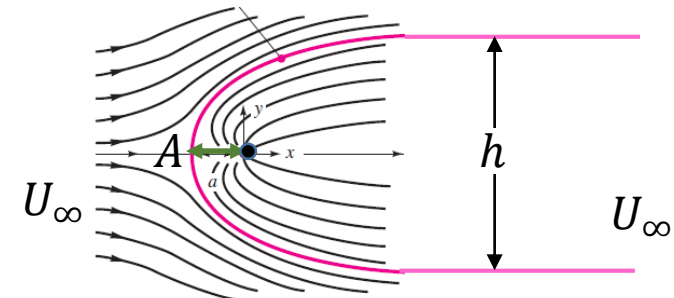
$$(3-D) \quad \varphi = -\frac{M}{4\pi r}, \quad u_r = \frac{M}{4\pi r^2}, \quad (u_x, u_y, u_z) = \left(\frac{Mx}{4\pi r^3}, \frac{My}{4\pi r^3}, \frac{Mz}{4\pi r^3} \right)$$

Σημειακή πηγή + ομοιόμορφη ροή (2-D)



$$\varphi = U_\infty x + \frac{M}{2\pi} \ln r, \quad (u_x, u_y) = (U_\infty, 0) + \left(\frac{Mx}{2\pi r^2}, \frac{My}{2\pi r^2} \right)$$

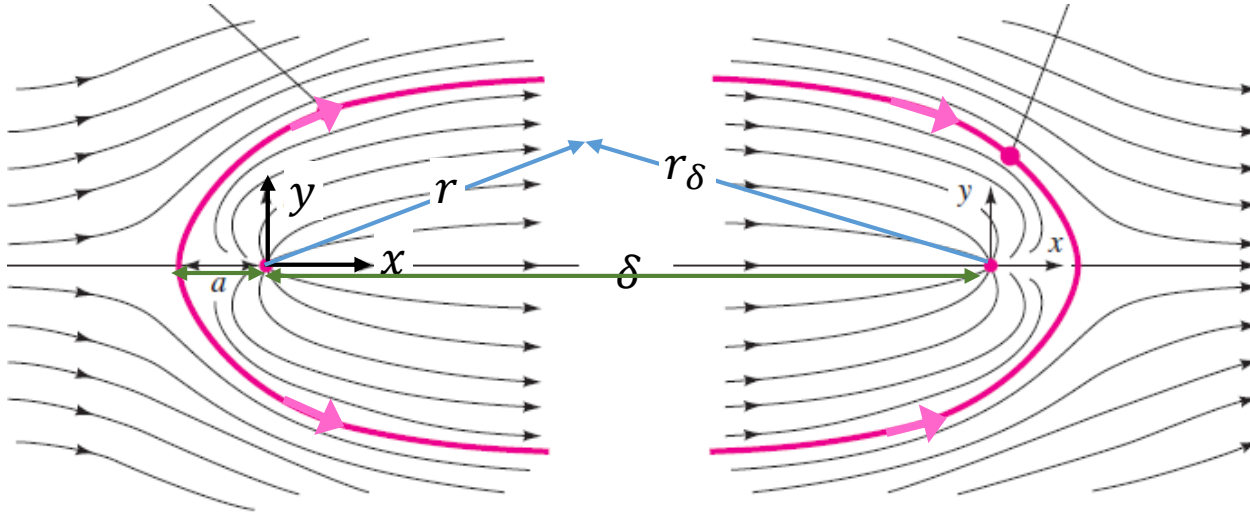
$$\text{Σημείο ανακοπής: } \left(A = -\frac{M}{2\pi U_\infty}, 0 \right) \quad \text{Εύρος: } h = \frac{M}{U_\infty}$$



Ροή γύρω από κυλινδρικά στερεά

Πηγή + Καταβόθρα + Ομοιόμορφη ροή

ροϊκή γραμμή



$$r^2 = x^2 + y^2$$

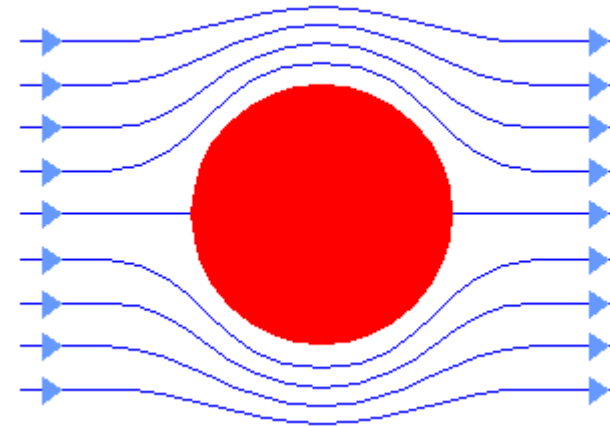
$$r_\delta^2 = (x - \delta)^2 + y^2$$

$$(u_x, u_y) = (U_\infty, 0) + \frac{M}{2\pi} \left[\frac{(x, y)}{r^2} - \frac{(x - \delta, y)}{r_\delta^2} \right]$$

$$\varphi = U_\infty x + \frac{M}{2\pi} \ln r - \frac{M}{2\pi} \ln r_\delta \approx U_\infty x + \frac{M\delta}{2\pi} \frac{x}{x^2 + y^2} \quad (\delta \ll x, y)$$

Ροή γύρω από κύλινδρο ακτίνας a

(πηγή + καταβόθρα \Rightarrow διπλέτα)



$$\left. \begin{array}{l} \delta \rightarrow 0 \\ \delta M = 2\pi U_\infty a^2 \end{array} \right\} \Rightarrow \varphi = U_\infty \left(x + \frac{a^2 x}{x^2 + y^2} \right)$$

$$(u_x, u_y) = (U_\infty, 0) + \frac{U_\infty a^2}{r^4} (y^2 - x^2, -2xy)$$

Όμως

$$\underline{F} = \int_S p \underline{n} dS = 0 !!!$$

Αλληλεπίδραση ροής με ιδανικό στρόβιλο

Στρόβιλος σε ιδανική ροή

(Ευθύγραμμος ή σημειακός στρόβιλος)

Αναζητούμε ροή με κυκλικές ροϊκές γραμμές

$$(u_r, u_\theta, u_z) = (0, u_\theta(r), 0)$$

$$\underline{\omega} = \underline{\nabla} \times \underline{u} = (0, 0, \omega_z) = \underline{0} \quad (\underline{\nabla} \cdot \underline{u} = 0)$$

$$\omega_z = \frac{1}{r} \frac{\partial}{\partial r} (r u_\theta) - \frac{1}{r} \frac{\partial u_r}{\partial \theta} = 0 \Rightarrow$$

$$u_\theta = \frac{\Gamma}{2\pi r}, \quad \varphi = \frac{\Gamma}{2\pi} \theta$$

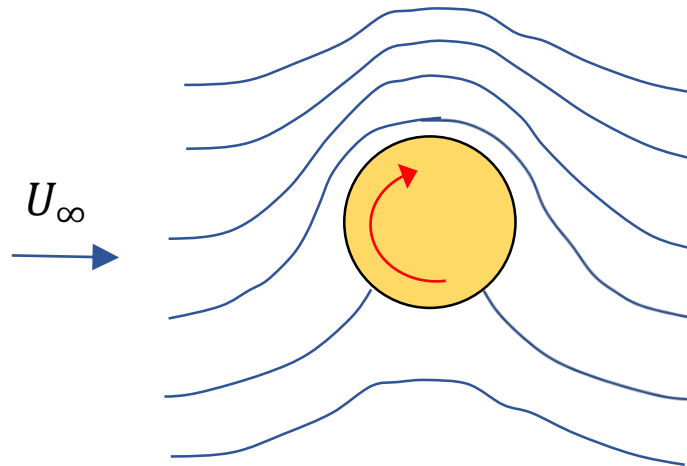
$$\text{ή } (u_x, u_y) = \frac{\Gamma}{2\pi r^2} (-y, x)$$

$$\Gamma = \oint_C \underline{u} \cdot d\underline{l} = \int_A \underline{\omega} \cdot \underline{n} dA \neq 0$$

Άπειρη στροβιλότητα στο κέντρο της ροής

Ροή με κυκλοφορία γύρω από κύλινδρο

$$(u_x, u_y) = (U_\infty, 0) + \frac{U_\infty a^2}{r^4} (y^2 - x^2, -2xy) + \frac{\Gamma}{2\pi r^2} (-y, x)$$



Σημείο ανακοπής
σε γωνία $\pm\alpha$

$$\Gamma = 4\pi a U_\infty \sin \alpha$$

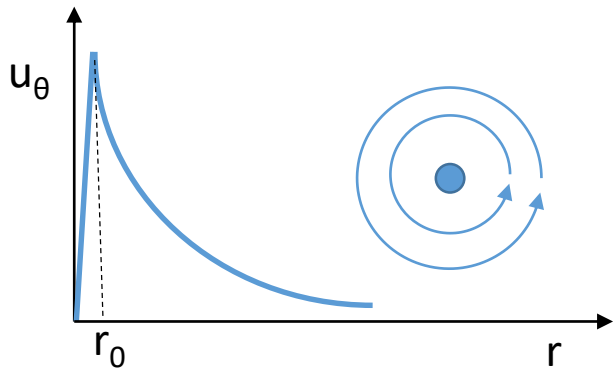
Η δύναμη από την
πίεση στην επιφάνεια

$$\underline{F} = (0, -\rho \Gamma U_\infty)$$

- Στο πλαίσιο της ιδανικής ροής, η κυκλοφορία είναι αυθαίρετη (πολλαπλές λύσεις)
- Στην πραγματικότητα, η κυκλοφορία οφείλεται στο ιξώδες και τη συνθήκη μη-ολίσθησης

Μοντελοποίηση και συμπεριφορά στροβίλου

Ευθύγραμμος (ή σημειακός) στρόβιλος



$$u_\theta = \Omega r \quad r \leq r_0 \Rightarrow \omega_z = 2\Omega$$

$$u_\theta = \frac{\Omega r_0^2}{r} \quad r \geq r_0 \Rightarrow \omega_z = 0$$

$$\Gamma = (2\Omega)(\pi r_0^2) \quad r_0 \rightarrow 0 \Rightarrow \Omega \rightarrow \infty$$

Σταθερή κυκλοφορία σε όλο το μήκος του στροβίλου

Ισοζύγιο r -ορμής

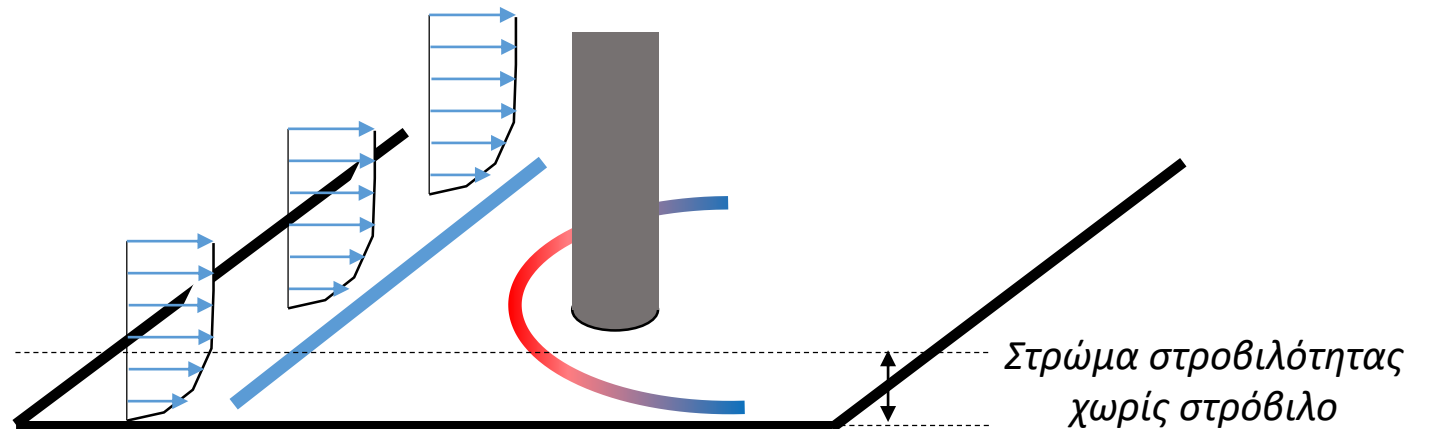
$$\frac{dp}{dr} = \rho \frac{u_\theta^2}{r} \Rightarrow p(r) = p_\infty - \frac{\rho \Omega^2 r_0^4}{2r^2}$$

Παραδείγματα

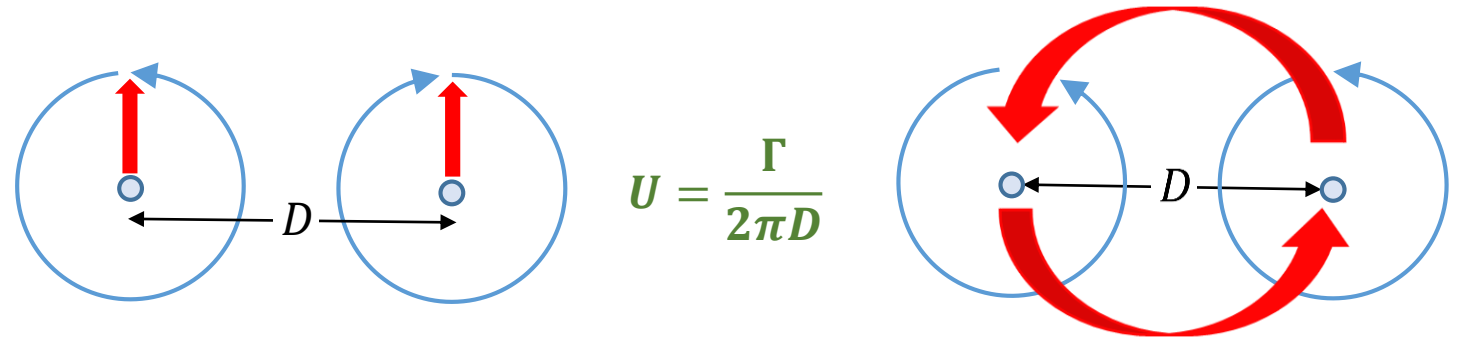
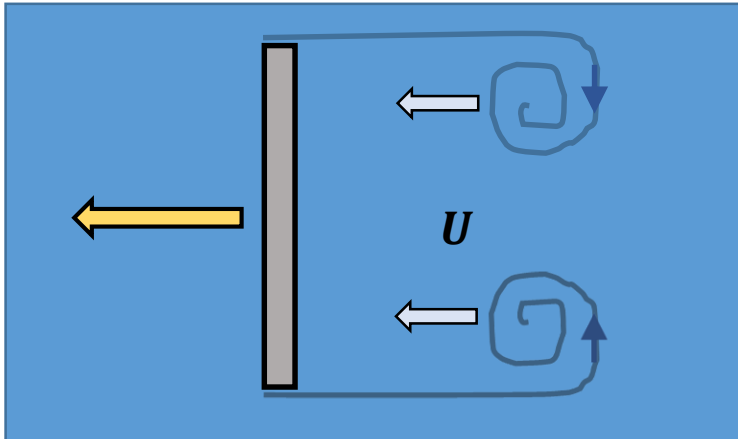
- Ανεμοστρόβιλος «σηκώνει σπίτια»
- Συμπύκνωση υδρατμού στον πυρήνα (δίνη πτερύγων)

Ενίσχυση στροβιλότητας με εφελκυσμό

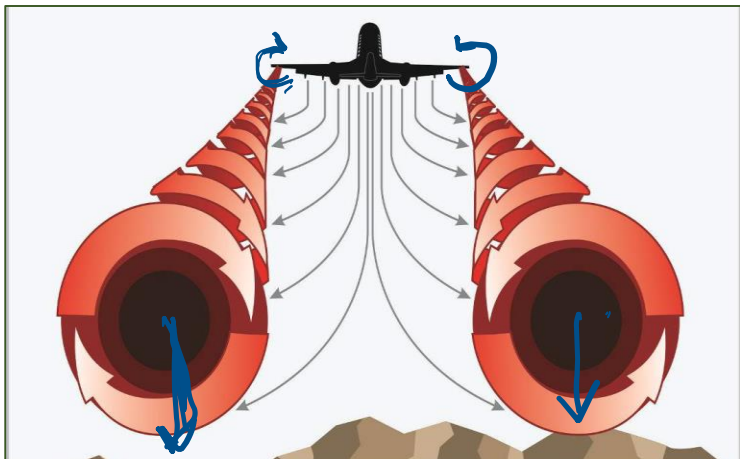
- Δίνη απορροής νεροχύτη
- Πεταλοειδής δίνη



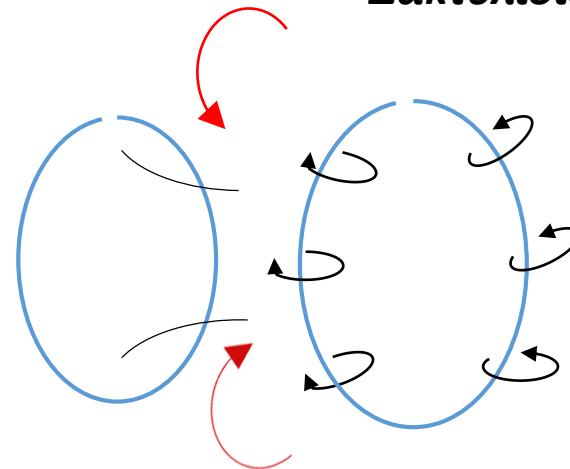
Στρόβιλοι (δίνες) στη μπανιέρα



Στρόβιλοι άκρων πτερύγων (tip vortices)



Δακτυλίδια καπνού



Θεώρημα Kutta-Zukowski

$$F_L = -\rho U_\infty \Gamma$$

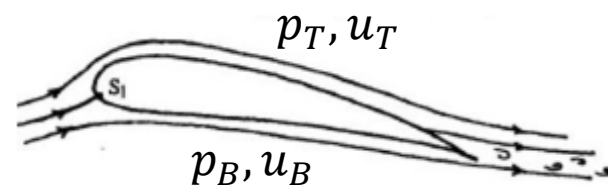
- Ισχύει για κυλινδρικά σώματα οποιασδήποτε διατομής
- Η κυκλοφορία καθορίζεται από το σχήμα της διατομής, σε συνδυασμό με την συμπεριφορά του οριακού στρώματος



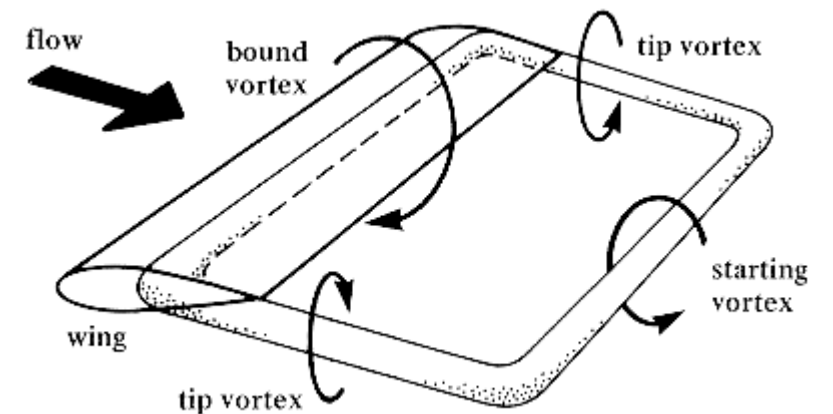
Το παράδειγμα της λεπτής αεροτομής

$$F_L = \int_0^c (p_B - p_T) dx = \int_0^c \frac{1}{2} \rho (u_T^2 - u_B^2) dx \approx \rho U_\infty \int_0^c (u_T - u_B) dx$$

$$= \rho U_\infty (-\oint \underline{u} dx) = -\rho U_\infty \Gamma$$



Δίνες γύρω από πτερύγιο αεροσκάφους



Θεωρία οριακού στρώματος

Η αναγκαιότητα του οριακού στρώματος



$$\frac{\partial \underline{\hat{u}}}{\partial \hat{t}} + \underline{\hat{u}} \cdot \underline{\hat{\nabla}} \underline{\hat{u}} = -\underline{\hat{\nabla}} \hat{p} + \frac{1}{Re} \nabla^2 \underline{\hat{u}}$$

$Re \gg 1 \Rightarrow$ Αδρανειακές δυνάμεις \gg Ιξώδεις δυνάμεις : $u_{inv}(x, 0) = u_{\infty}(x)$
 Όμως, η σωστή συνοριακή συνθήκη είναι: $u(x, 0) = 0$

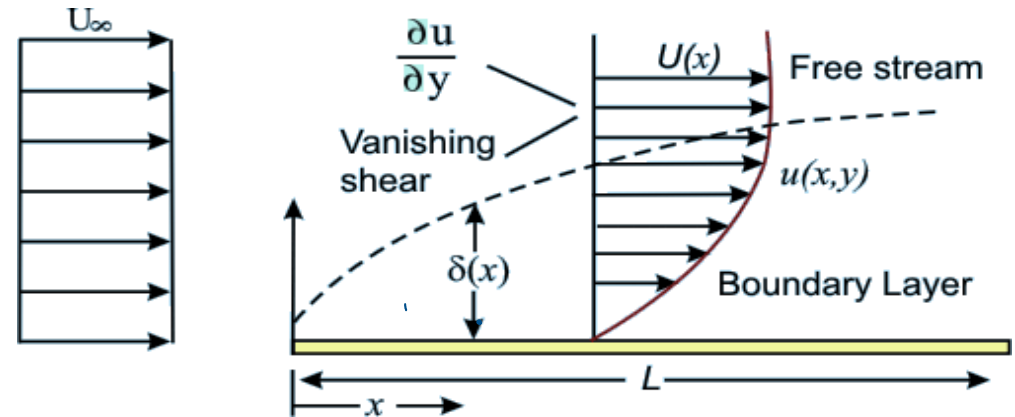
Άρα, $u \rightarrow 0$ σε πολύ μικρή απόσταση, δ , από το τοίχωμα.

(Matched asymptotic expansions: Ταιριασμένα ασυμπτωτικά αναπτύγματα)

Στο πάχος, δ , του οριακού στρώματος οι ιξώδεις δυνάμεις είναι ίσες με τις αδρανειακές. Άρα,

$$\mu \frac{\partial^2 u}{\partial x^2} \ll \mu \frac{\partial^2 u}{\partial y^2} \sim \rho u \frac{\partial u}{\partial x} \Rightarrow \mu \frac{U}{\delta^2} \sim \rho U \frac{U}{L} \Rightarrow$$

$$\frac{\delta}{L} \sim Re^{-1/2}$$



Χαρακτηριστικές κλίμακες οριακού στρώματος

$$\left. \begin{array}{l} x \sim L \\ y \sim \delta \\ u \sim U \\ v \sim V \end{array} \right\} \frac{\partial u}{\partial x} + \frac{\partial v}{\partial y} = 0 \Rightarrow V \sim \frac{U\delta}{L} \ll U, \quad (\Delta p)_x \sim \Pi, \quad (\Delta p)_y \sim \Lambda$$

Ανάλυση τάξης μεγέθους και εξισώσεις οριακού στρώματος

Έστω ροή πάνω από τοίχωμα μικρής καμπυλότητας. Η ατριβής λύση δίνει: $u(x, 0) = u_\infty(x)$, $p(x, 0) = p_\infty(x)$
 (x το μήκος τόξου πάνω στο τοίχωμα στη διεύθυνση ροής)

x-ορμή

$$u \frac{\partial u}{\partial x} + v \frac{\partial u}{\partial y} = -\frac{1}{\rho} \frac{\partial p}{\partial x} + \nu \left(\frac{\partial^2 u}{\partial x^2} + \frac{\partial^2 u}{\partial y^2} \right)$$

$$\frac{U^2}{L} \quad \frac{UV}{\delta} \sim \frac{U^2}{L} \quad \frac{\Pi}{\rho L} \quad \frac{\nu U}{L^2} \ll \frac{\nu U}{\delta^2} \quad \frac{\nu U}{\delta^2} \sim \frac{U^2}{L}$$

y-ορμή

$$u \frac{\partial v}{\partial x} + v \frac{\partial v}{\partial y} = -\frac{1}{\rho} \frac{\partial p}{\partial y} + \nu \left(\frac{\partial^2 v}{\partial x^2} + \frac{\partial^2 v}{\partial y^2} \right)$$

$$\frac{UV}{L} \sim \frac{U^2 \delta}{L L} \quad \frac{\Lambda}{\rho \delta} \quad \frac{\nu V}{L^2} \ll \frac{\nu V}{\delta^2} \quad \frac{\nu V}{\delta^2} \sim \frac{U^2 \delta}{L L}$$

κατανομή πίεσης $\frac{\Pi}{\rho L} \sim \frac{U^2}{L}$, $\frac{\Lambda}{\rho \delta} \sim \frac{U^2 \delta}{L L} \Rightarrow \frac{\Lambda}{\Pi} \sim \frac{\delta^2}{L^2} \ll \ll 1$

Μέσα στο οριακό στρώμα: $\frac{\partial p}{\partial y} \approx 0$, $\frac{\partial p}{\partial x} = \frac{dp_\infty}{dx}$

Στο σύνορο:

$$u_\infty \frac{du_\infty}{dx} = -\frac{1}{\rho} \frac{dp_\infty}{dx} \quad (\text{εξίσωση Bernoulli στο τοίχωμα})$$

Τελικές εξισώσεις οριακού στρώματος (παραβολικές)

$$\frac{\partial u}{\partial x} + \frac{\partial v}{\partial y} = 0, \quad u \frac{\partial u}{\partial x} + v \frac{\partial u}{\partial y} = u_\infty \frac{du_\infty}{dx} + \nu \frac{\partial^2 u}{\partial y^2}, \quad \frac{\partial p}{\partial y} = 0$$

$$\frac{du_\infty}{dx} > 0 \quad \text{Ευνοϊκή κλίση πίεσης}$$

$$\frac{du_\infty}{dx} < 0 \quad \text{Αντίθετη κλίση πίεσης}$$

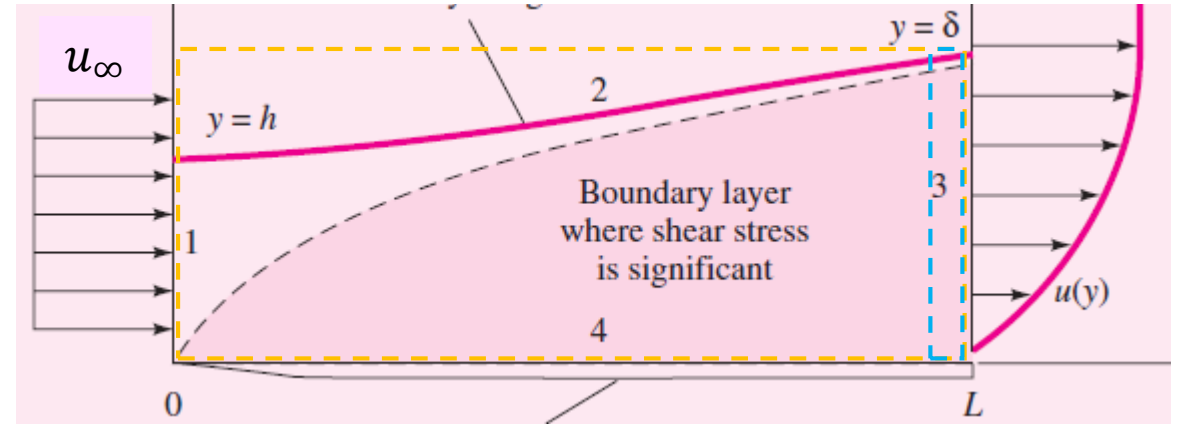
$$\frac{du_\infty}{dx} = 0 \quad \text{Επίπεδη πλάκα}$$

Ανάπτυξη του οριακού στρώματος: ολοκληρωτικά ισοζύγια vonKarman

Ισοζύγιο μάζας για μηδενική κλίση πίεσης

Πάχος μετατόπισης, δ_*

$$u_\infty \delta - \int_0^\delta u \, dy = u_\infty \delta_* \Rightarrow \delta_* = \int_0^\delta \left(1 - \frac{u}{u_\infty}\right) dy$$



Ισοζύγιο ορμής για μηδενική κλίση πίεσης

Πάχος ελλείματος ορμής, Θ

$$D(x) = \rho u_\infty^2 \delta - \int_0^\delta \rho u^2 dy - \left(u_\infty \delta - \int_0^\delta u \, dy\right) \rho u_\infty = \int_0^\delta \rho u (u_\infty - u) \, dy = \rho u_\infty^2 \Theta \Rightarrow \Theta = \int_0^\delta \left(1 - \frac{u}{u_\infty}\right) \frac{u}{u_\infty} dy$$

Επίλυση με βάση προσεγγιστικό πεδίο ταχύτητας

$$u(x, y) = u_\infty f\left(\frac{y}{\delta(x)}\right)$$

- Εύρεση $\delta_* = \delta_*(\delta)$ και $\Theta = \Theta(\delta)$
- Εύρεση $\tau_w = \mu(\partial u / \partial y)_{y=0} = \tau_w(\delta)$
- Αντικατάσταση στο ισοζύγιο vonKarman $\Rightarrow \delta(x)$

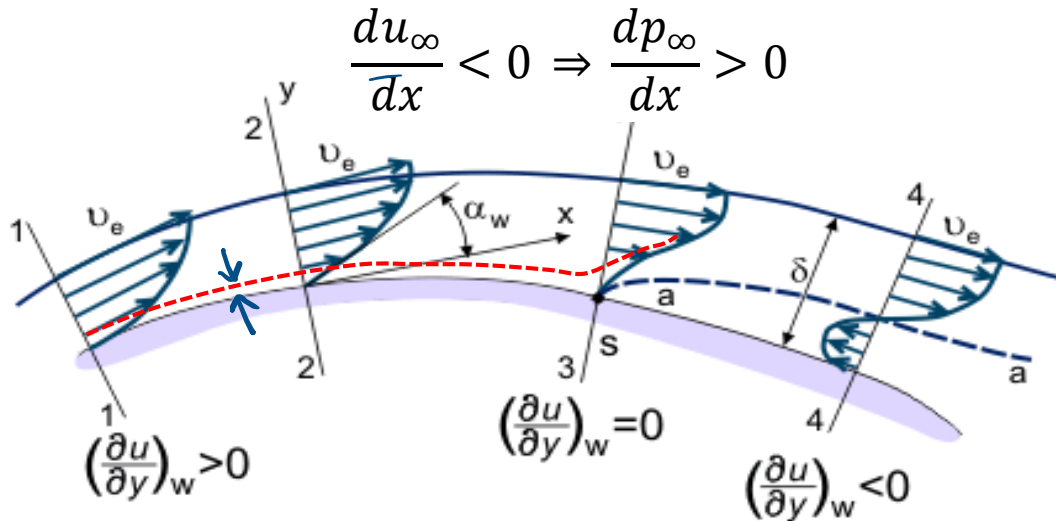
Οριακό στρώμα με μη-μηδενική κλίση πίεσης

$$\frac{d}{dx}(\rho u_\infty^2 \Theta) = \tau_w + \delta_* \frac{dp_\infty}{dx} \Rightarrow \frac{d\Theta}{dx} = \frac{f}{2} - \frac{\delta_* + 2\Theta}{u_\infty} \frac{du_\infty}{dx}$$

$$\frac{dp_\infty}{dx} \leq 0 \text{ αργή/γρήγορη αύξηση πάχους}$$

$$f = \frac{2\tau_w}{\rho u_\infty^2}$$

Αντίθετη κλίση πίεσης



- Κατάντη αύξηση πίεσης επιβραδύνει τα σωματίδια ρευστού κοντά στο τοίχωμα (έχουν μικρή αδράνεια)
- Η κίνηση μπορεί να διατηρηθεί μόνον με μεταφορά ορμής (σύρσιμο) από την κυρίως ροή
- Η αποκόλληση του οριακού στρώματος οδηγεί στη μεταφορά ρευστού με στροβιλότητα μακριά από το τοίχωμα (ακύρωση ιδανικής ροής)

Απομάκρυνση ροϊκής γραμμής από το τοίχωμα

Έστω ροϊκή γραμμή στη θέση $y = h(x)$ κοντά στο τοίχωμα:

$$y \ll \delta \Rightarrow u(y) \approx y \left. \frac{\partial u}{\partial y} \right|_{y=0} \approx \frac{y\tau_w}{\mu}$$

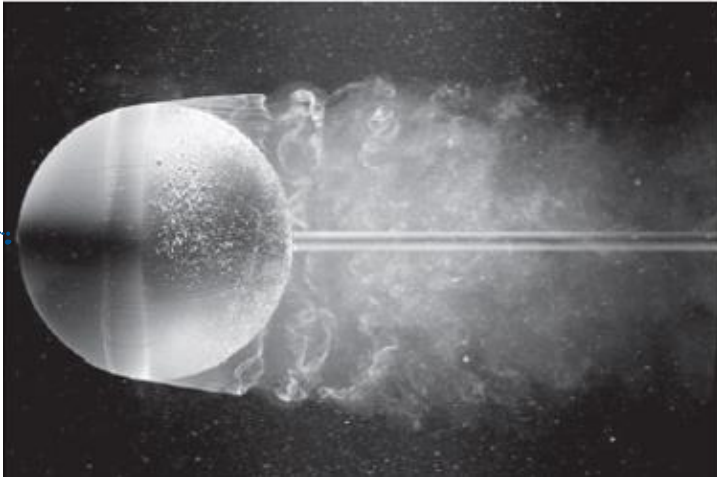
Παροχή μεταξύ τοιχώματος και $y = h(x)$:

$$\dot{m} = \int_0^h \rho u dy \approx \int_0^h \rho \frac{y\tau_w}{\mu} dy \approx \frac{1}{2} h^2 \frac{\tau_w}{\nu} \Rightarrow h(x) \sim \sqrt{\frac{\dot{m}}{\tau_w}}$$

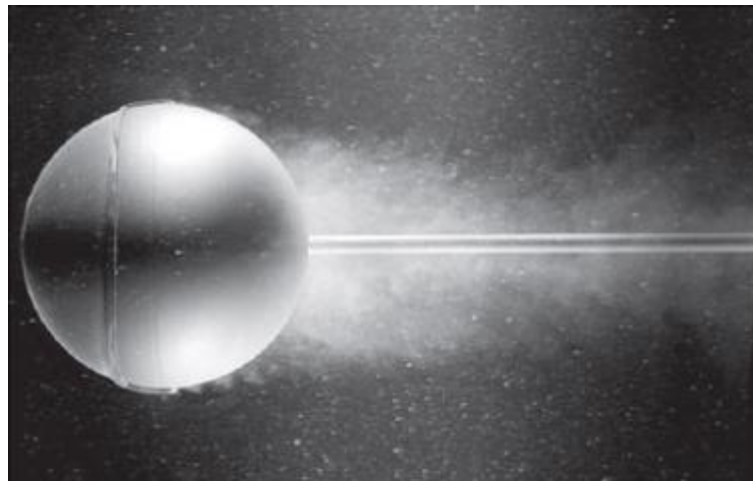
$$\tau_w \rightarrow 0 \Rightarrow h(x) \rightarrow \infty$$

Με τον μηδενισμό της διατμητικής τάσης, η ροή αποκολλάται από το τοίχωμα

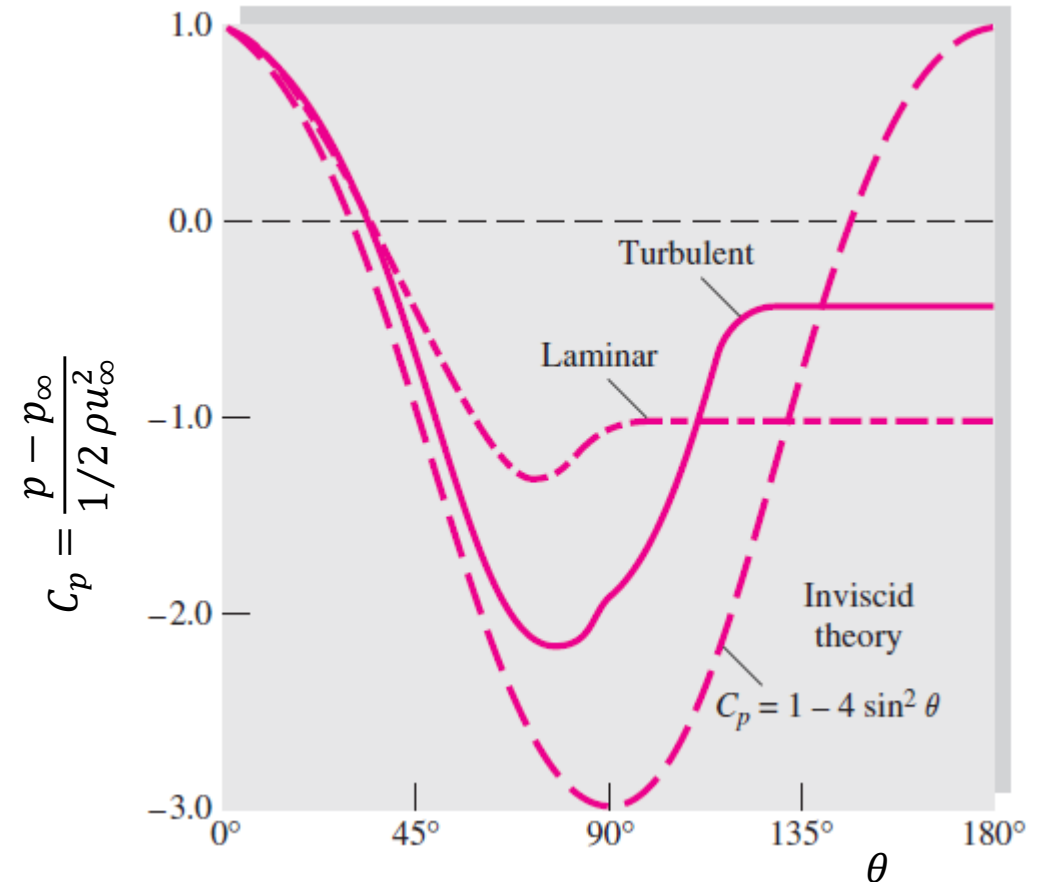
Στρωτή και τυρβώδης αποκόλληση



Στρωτή ροή: μεταφορά ορμής μόνον με μοριακό μηχανισμό



Τυρβώδης ροή: μεταφορά ορμής με δινοδιαχυτότητα



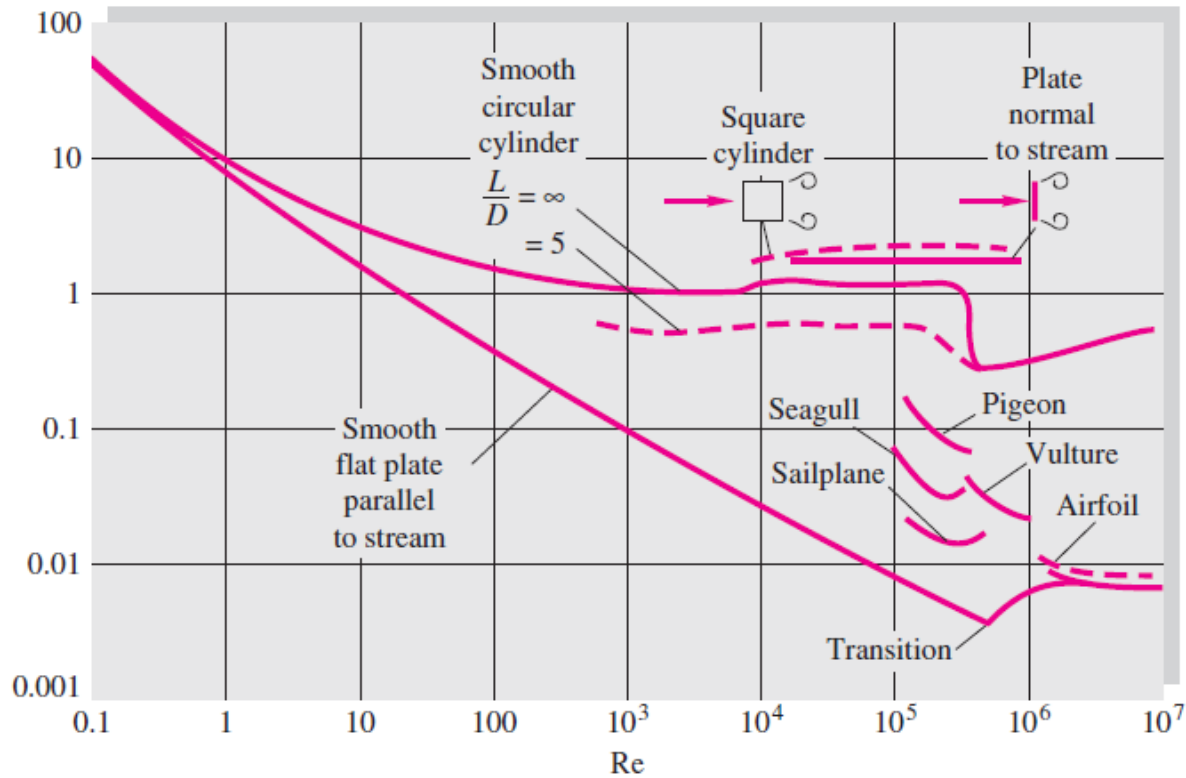
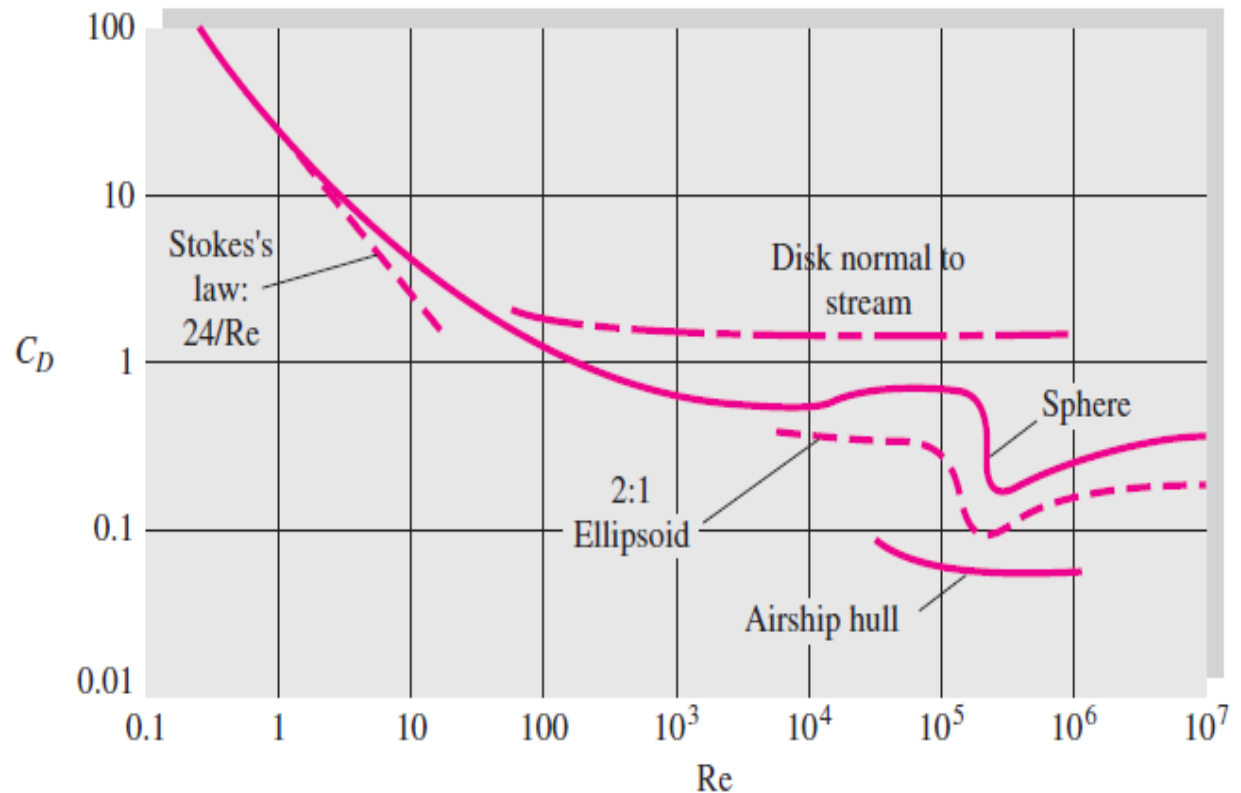
<https://www.youtube.com/watch?v=pW0JfEBE9h8>
(Δυναμική της αποκόλλησης και αποφυγή της)

Οπισθέλκουσα δύναμη σε στερεά σώματα

$$F_D = C_D A \frac{1}{2} \rho u_\infty^2$$

Σφαίρα (και άλλα αξονοσυμμετρικά εμπόδια)

$$c_D \approx 0,4 + \frac{24}{Re} + \frac{6}{Re^{1/2}} \quad 10 \leq Re \leq 10^5$$

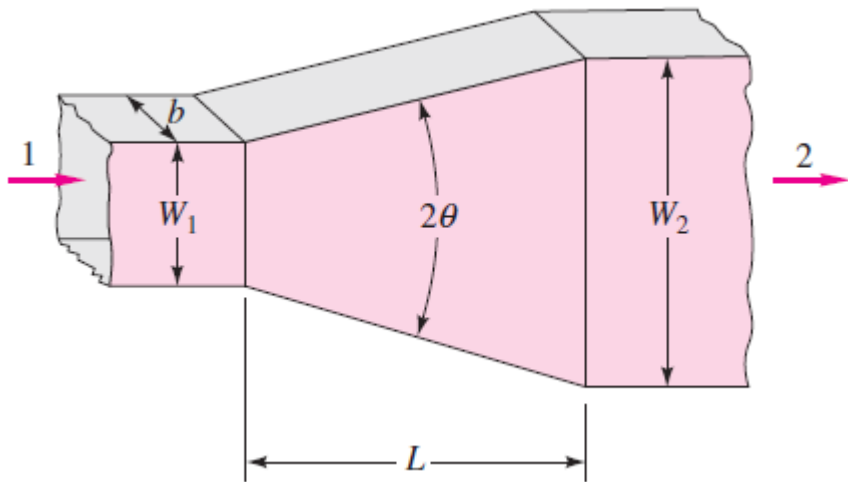


Κύλινδρος (και άλλα διδιάστατα εμπόδια)

$$c_D \approx 1 + \frac{10}{Re^{2/3}} \quad 1 \leq Re \leq 10^4$$

Στόχος

Ανάκτηση πίεσης $p_0 = p_1 + \frac{1}{2} \rho u_1^2$

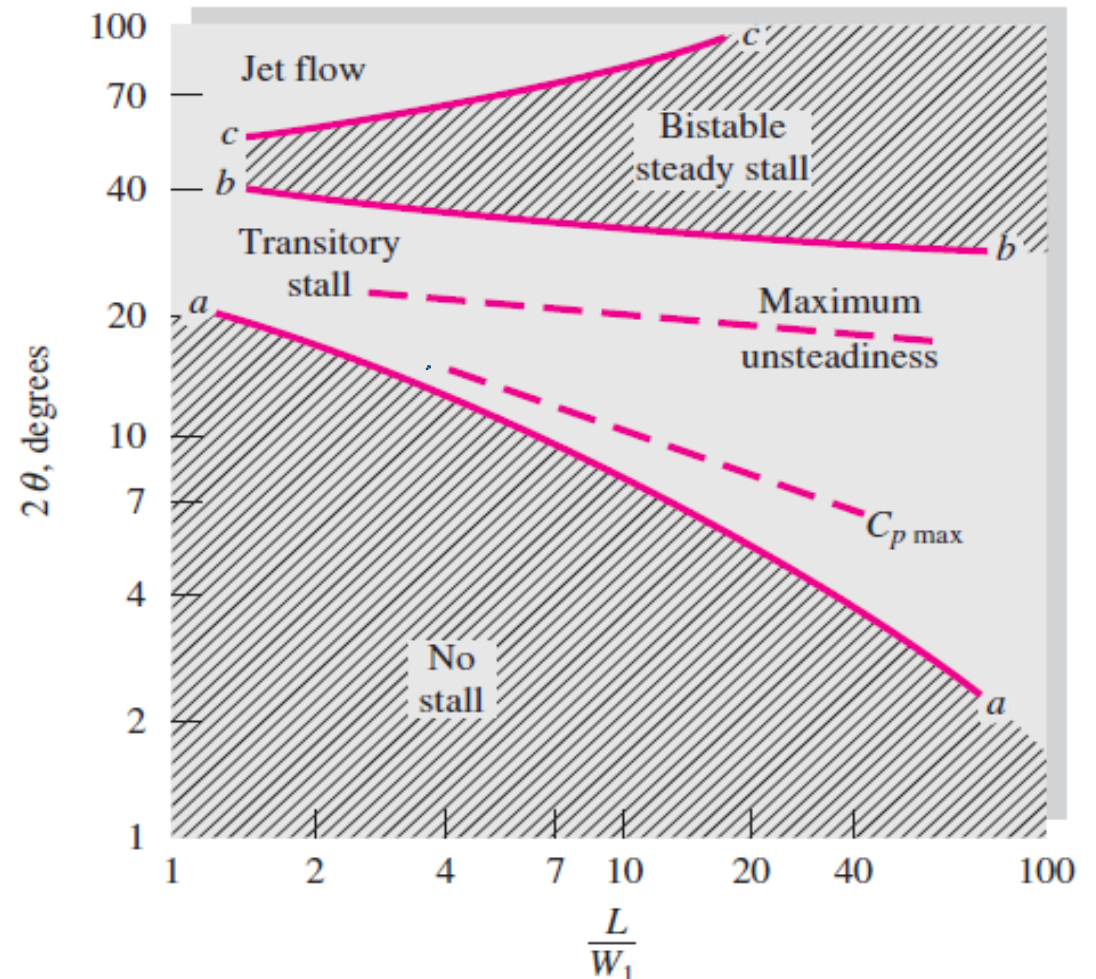


$$C_p = \frac{p_2 - p_1}{p_0 - p_1} \approx 1 - \left(\frac{u_2}{u_1}\right)^2 \approx 1 - \left(\frac{A_1}{A_2}\right)^2$$

κλάσμα απόφραξης: $B_1 = \frac{(2W_1 + 2b)\delta_1}{W_1 b}$ ($\approx 0,02 - 0,12$)

Ο ρόλος των οριακών στρωμάτων

- Μερική απόφραξη στην είσοδο λόγω πάχους οριακού στρώματος
- Αποκόλληση/ δυναμική αλληλεπίδραση λόγω αντίθετης κλίσης πίεσης



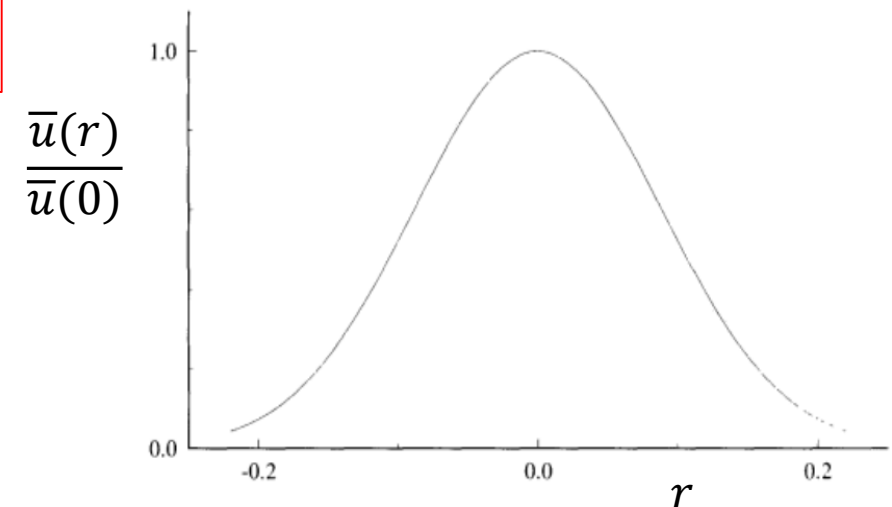
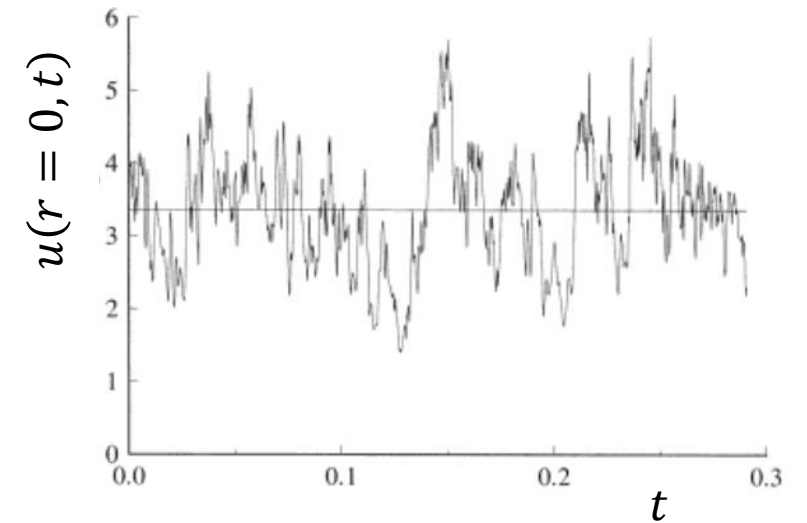
Τυρβώδης ροή

Χαρακτηριστικά της τυρβώδους ροής

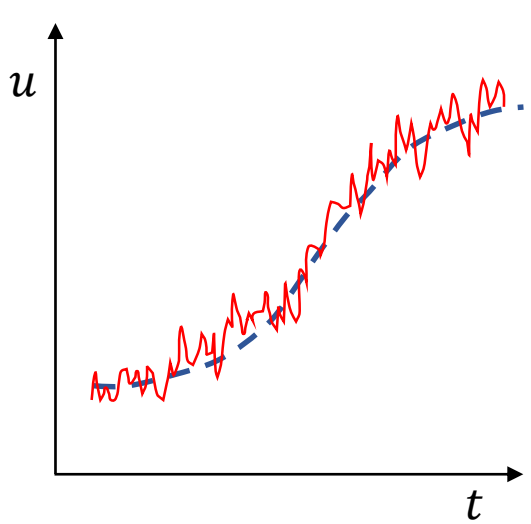


Το παράδειγμα της τυρβώδους δέσμης

- Έντονες διακυμάνσεις
- Δομές σε πολλαπλές χωρικές κλίμακες
- Χρονικές διακυμάνσεις σε μεγάλο εύρος συχνοτήτων
- Ομαλή συμπεριφορά μέσων τιμών



Περιγραφή της τυρβώδους ροής



$$\bar{u}_i(\underline{x}, t) = \frac{1}{T} \int_0^T u_i(\underline{x}, t) dt$$

$$\overline{a + b} = \bar{a} + \bar{b}, \quad \overline{\frac{\partial a}{\partial x, t}} = \frac{\partial \bar{a}}{\partial x, t}$$

$$\overline{\bar{a}} = \bar{a}, \quad \overline{\bar{a}b} = \bar{a}\bar{b} \quad \text{αλλά} \quad \overline{ab} \neq \bar{a}\bar{b}$$

$$u_i = \bar{u}_i + u'_i \Rightarrow \overline{u'_i} = 0$$

$$\overline{u_i u_j} = \overline{(\bar{u}_i + u'_i)(\bar{u}_j + u'_j)} = \bar{u}_i \bar{u}_j + \overline{u'_i u'_j}$$

$$\text{Ανεξάρτητες διαταραχές} \Leftrightarrow \overline{u'_i u'_j} = 0$$

$$\text{Οι δίνες της τύρβης} \Rightarrow \overline{u'_i u'_j} \neq 0$$

Reynolds-averaged Navier-Stokes (RANS)

$$\rho \left(\frac{\partial \overline{u_j}}{\partial t} + \overline{u_i \frac{\partial u_j}{\partial x_i}} \right) = -\frac{\partial \bar{p}}{\partial x_j} + \mu \left(\frac{\partial^2 \overline{u_j}}{\partial x_i \partial x_i} \right) \Rightarrow \rho \left(\frac{\partial \bar{u}_j}{\partial t} + \overline{u_i \frac{\partial u_j}{\partial x_i}} \right) = -\frac{\partial \bar{p}}{\partial x_j} + \mu \left(\frac{\partial^2 \bar{u}_j}{\partial x_i \partial x_i} \right)$$

$$\overline{u_i \frac{\partial u_j}{\partial x_i}} = \bar{u}_i \frac{\partial \bar{u}_j}{\partial x_i} + \frac{\partial (\overline{u'_i u'_j})}{\partial x_i}$$

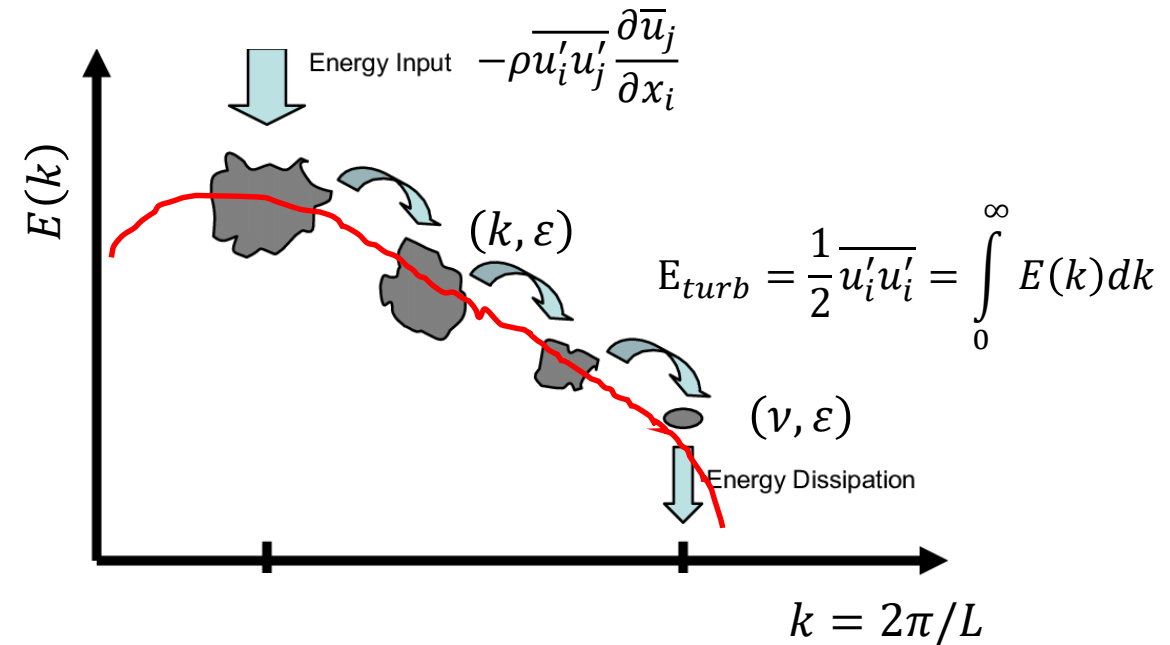
$$\rho \left(\frac{\partial \bar{u}_j}{\partial t} + \bar{u}_i \frac{\partial \bar{u}_j}{\partial x_i} \right) = -\frac{\partial \bar{p}}{\partial x_j} + \frac{\partial}{\partial x_i} \left(\mu \frac{\partial \bar{u}_j}{\partial x_i} - \rho \overline{u'_i u'_j} \right)$$

$$\tau_{ij} = \mu \frac{d\bar{u}_j}{dx_i} - \rho \overline{u'_i u'_j}$$

↑ ↑
 Ιξώδης τάση Τάση Reynolds

Ισοζύγιο τυρβώδους ενέργειας

- Η κινητική ενέργεια της τύρβης κατανέμεται σε πολλές κλίμακες (δίνες)
- Τυρβώδης ενέργεια παράγεται στην μακρο-κλίμακα και μεταφέρεται προς τα κάτω (energy cascade)
- Η ενέργεια σκεδάζεται στην μικρο-κλίμακα Kolmogorov (viscous dissipation)
- Η μικρο-κλίμακα εξαρτάται μόνον από το ιξώδες, $\nu [=] m^2/s$ και το ρυθμό μεταφοράς ενέργειας, $\varepsilon [=] m^2/s^3$



Μακρο-κλίμακα τύρβης

Χαρ/κό μήκος της ροής: L_1

Μέση ταχύτητα: U

Κινητική ενέργεια τύρβης: $u_1^2 = \overline{u'_i u'_i}$

Χαρ/κή ταχύτητα τύρβης: u_1 ($u_1 \sim 0,1 U$)

Χαρ/κός χρόνος ζωής δίνης: $t_1 = L_1/u_1$

Μικρο-κλίμακα Kolmogorov

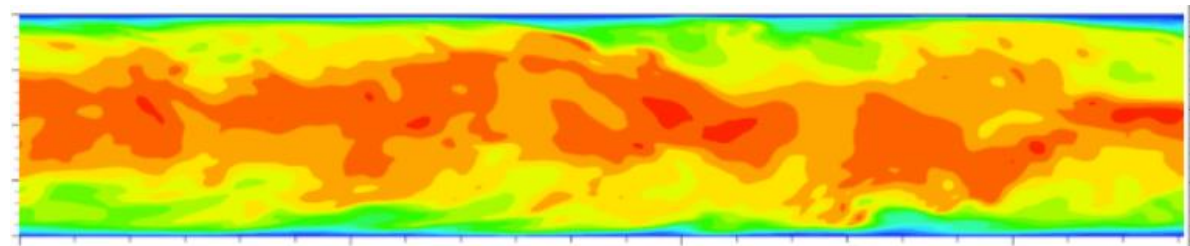
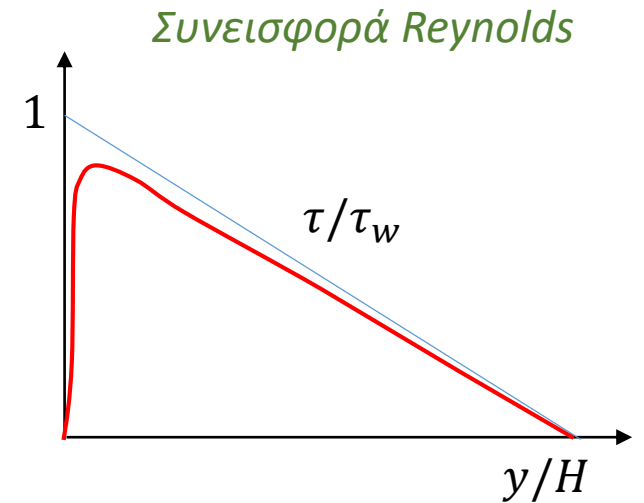
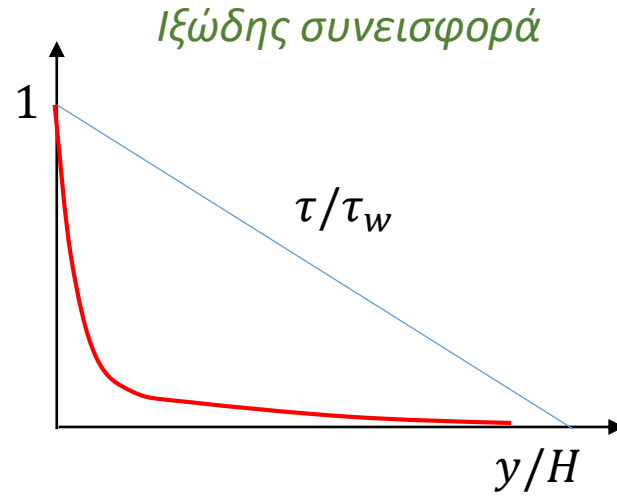
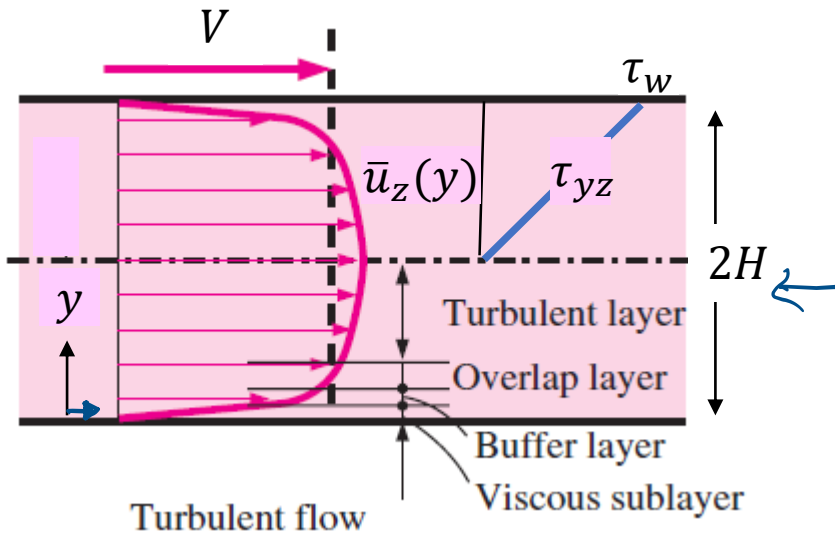
$$L_2, u_2, t_2 = f(\varepsilon, \nu) \quad L_2 = (\nu^3/\varepsilon)^{1/4}, \quad u_2 = (\varepsilon \nu)^{1/4}, \quad t_2 = (\nu/\varepsilon)^{1/2} \quad (Re_2 = 1)$$

$$\text{Ρυθμός μεταφοράς} = \text{Ρυθμός σκέδασης} \Rightarrow \frac{u_1^2}{L_1/u_1} = \varepsilon$$

$$L_2 = L_1 (Re_1)^{-3/4}, \quad u_2 = u_1 (Re_1)^{-1/4}, \quad t_2 = t_1 (Re_1)^{-1/2}$$

Παράδειγμα: Αέρας με $U=15 m/s$ σε αγωγό $d=0,1 m$: $Re_1=10^4$, $L_2=100 \mu m$, $t_2=0,7 ms$

Τυρβώδης ροή κοντά σε τοίχωμα



Χαρακτηριστικές κλίμακες τοιχώματος (ρ, ν, τ_w)

$$\Delta P(W2H) = \tau_w(2WL) \Rightarrow \tau_w = H \frac{\Delta P}{L}$$

$$\underline{\bar{u}} = (0, 0, \bar{u}_z(y)), \tau_{zx} = \tau_{yx} = 0$$

$$\frac{d\tau_{yz}}{dy} = \frac{d\bar{p}}{dz} = -\frac{\Delta P}{L} \Rightarrow \frac{\tau_{yz}}{\tau_w} = \left(1 - \frac{y}{H}\right)$$

$$\tau_{yz} = \mu \frac{d\bar{u}_z}{dy} - \overline{\rho u'_z u'_y}$$

Ιξώδης τάση Τάση Reynolds

$$u_* = \sqrt{\frac{\tau_w}{\rho}}, y_* = \frac{y}{\nu}, Re_* = \frac{u_* y_*}{\nu} = 1$$

$$u_+ = \frac{u}{u_*}, y_+ = \frac{y}{y_*} = \frac{yu_*}{\nu}$$

Τοπικός Re

Τυρβώδης ροή σε λείο αγωγό: Ο νόμος του τοιχώματος

Η ροή (καναλιού ή αγωγού) προσδιορίζεται πλήρως από: $\rho, \nu, H, u_* \rightarrow U_0$

$$\bar{u}_z = u_* F\left(\frac{y}{H}, \frac{u_* H}{\nu}\right) \quad \text{ή} \quad \frac{d\bar{u}_z}{dy} = \frac{u_*}{y} \Phi\left(\frac{y}{y_*}, \frac{y}{H}\right) \quad \left(\frac{y}{y_*} = \frac{y u_* H}{H \nu}\right)$$

$$u_+ = 2,44 \ln y_+ + 5,0$$

Βασική παραδοχή (Prandtl)

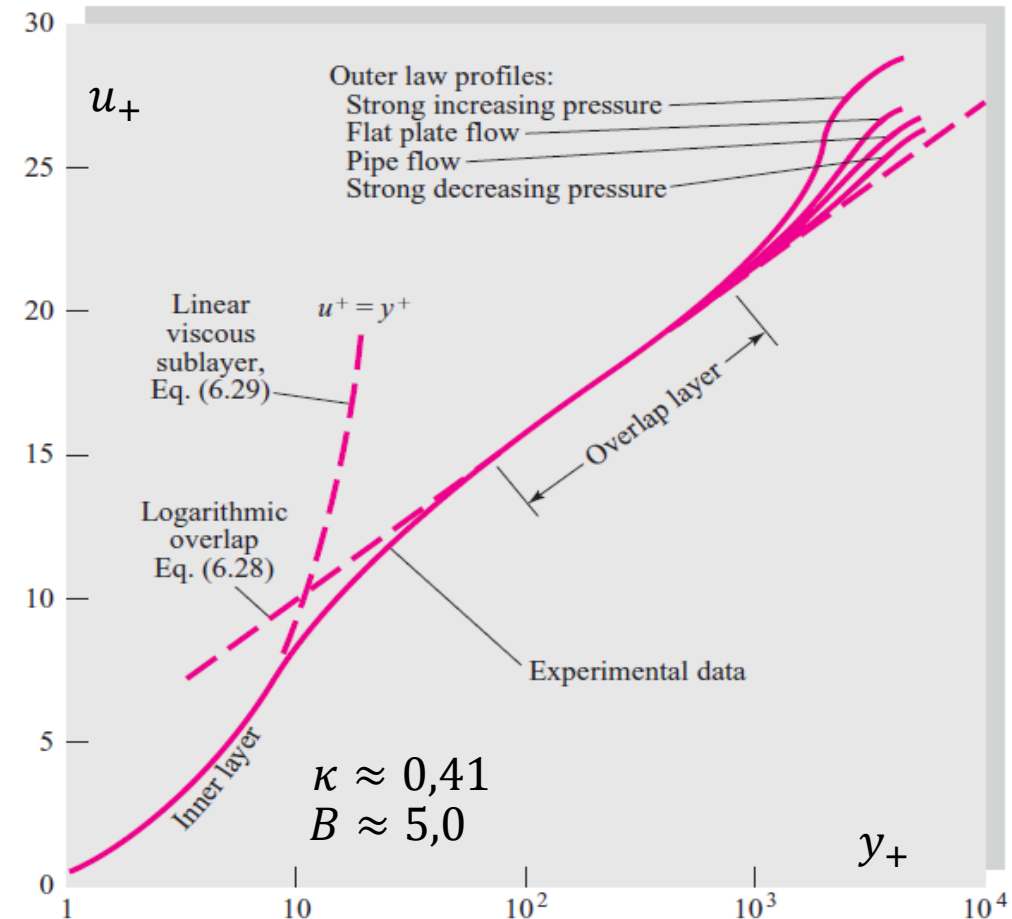
Σε υψηλούς Re, υπάρχει περιοχή κοντά στο τοίχωμα ($y/H < 0,1$ εσωτερική περιοχή) όπου η μέση ταχύτητα καθορίζεται μόνον από τις κλίμακες του τοιχώματος και είναι ανεξάρτητη των H, U_0 .

$$\frac{d\bar{u}_z}{dy} \approx \frac{u_*}{y} \Phi_1\left(\frac{y}{y_*}\right) \Rightarrow \frac{du_+}{dy_+} \approx \frac{1}{y_+} \Phi_1(y_+)$$

$$y_+ \sim O(1): \quad \frac{d\bar{u}_z}{dy} \approx \frac{\tau_w}{\mu} \Rightarrow \frac{du_+}{dy_+} \approx 1 \Rightarrow u_+ = y_+$$

$$y_+ > 50: \quad \Phi_1(y_+) \rightarrow \frac{1}{\kappa} \Rightarrow \frac{du_+}{dy_+} \approx \frac{1}{\kappa y_+} \Rightarrow u_+ = \frac{1}{\kappa} \ln y_+ + B$$

εξωτερικό τμήμα εσωτερικής περιοχής (overlap layer)



Τυρβώδης ροή σε τραχύ αγωγό: Ο νόμος του τοιχώματος

Έστω ότι η τραχύτητα χαρακτηρίζεται από το ύψος, s

$$\frac{d\bar{u}_z}{dy} = \frac{u_*}{y} \Phi\left(\frac{y}{H}, \frac{y}{y_*}, \frac{s}{y_*}\right)$$

Εσωτερική περιοχή (Prandtl)

$$\frac{d\bar{u}_z}{dy} \approx \frac{u_*}{y} \Phi\left(\frac{y}{y_*}, \frac{s}{y_*}\right)$$

$$\kappa \approx 0,41 \quad B \approx 5,0 \quad B_2 \approx 8,5$$

$$s \ll y_* : \Phi\left(\frac{y}{y_*}, \frac{s}{y_*}\right) \rightarrow \Phi_1\left(\frac{y}{y_*}\right) \Rightarrow u_+ = \frac{1}{\kappa} \ln y_+ + B \quad \text{για } H \gg y \gg y_* \text{ (λείο τοίχωμα)}$$

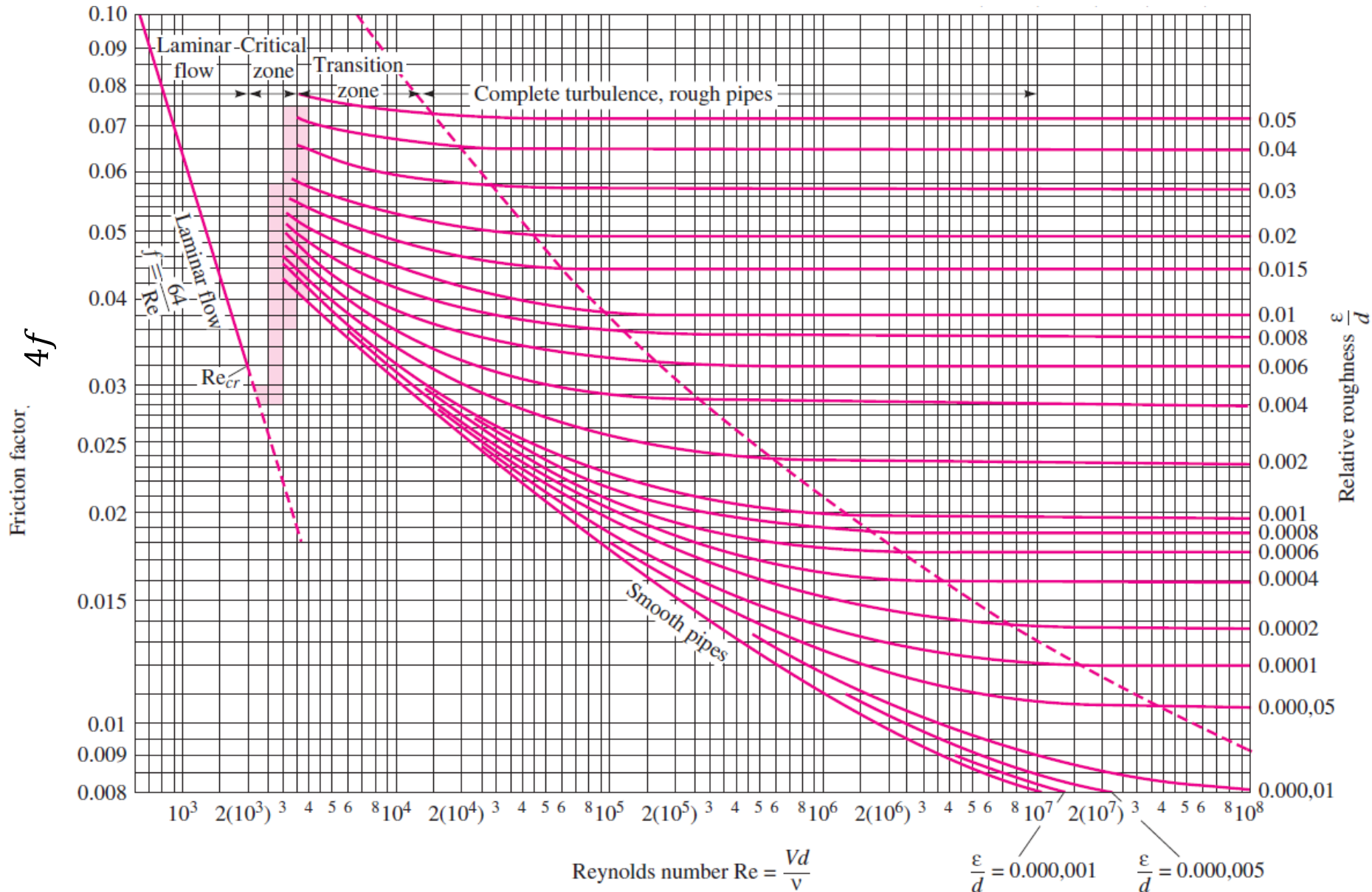
$$u_+ = 2,44 \ln y_+ + 5,0$$

$$s \gg y_* : \Phi\left(\frac{y}{y_*}, \frac{s}{y_*}\right) \rightarrow \Phi_2\left(\frac{y}{s}\right) \Rightarrow \frac{d\bar{u}_z}{dy} \approx \frac{u_*}{y} \Phi_2\left(\frac{y}{s}\right) \Rightarrow u_+ = \frac{1}{\kappa} \ln\left(\frac{y}{s}\right) + B_2 \quad \text{για } H \gg y \gg s$$

$$u_+ = 2,44 \ln\left(\frac{y}{s}\right) + 8,5$$

Μεταφορά ορμής στο τοίχωμα μέσω οπισθέλκουσας μορφής
(αμελητέα συνεισφορά ιξωδών τάσεων: y_* εκπίπτει)

Διάγραμμα Moody



$$\epsilon_+ = \frac{\epsilon u_*}{\nu} < 5$$

$$u_+ = 2,44 \ln y_+ + 5,0$$

$$\frac{\langle u \rangle}{u_*} = 2,44 \ln \left(\frac{u_* R}{\nu} \right) + 1,34$$

$$\frac{1}{\sqrt{4f}} = -2 \log \left(\frac{2,51}{Re \sqrt{4f}} \right)$$

$$\epsilon_+ = \frac{\epsilon u_*}{\nu} > 70$$

$$u_+ = 2,44 \ln \frac{y}{\epsilon} + 8,5$$

$$\frac{\langle u \rangle}{u_*} = 2,44 \ln \frac{d}{\epsilon} + 3,2$$

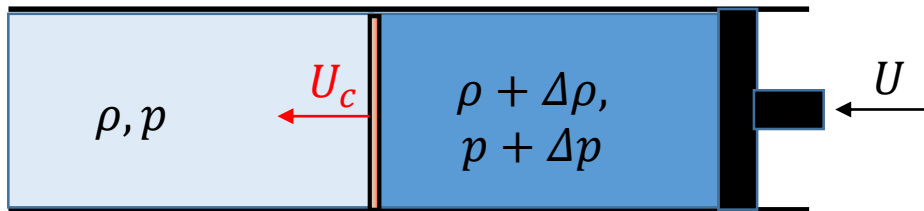
$$\frac{1}{\sqrt{4f}} = -2 \log \left(\frac{\epsilon/d}{3,7} \right)$$

Συμπιεστές ροές

Ασυμπίεστες και συμπίεστες ροές

$\rho = \rho(p, T)$ Ασυμπίεστη ροή όταν $\Delta\rho/\rho \ll 1$

$$\frac{\Delta\rho}{\rho} \sim \frac{u^2}{c^2}, \quad c = \left(\frac{\partial p}{\partial \rho}\right)_s^{1/2} \Rightarrow \boxed{Ma = \frac{u}{c}}$$



$$\begin{aligned} \rho U_c &= (\rho + \Delta\rho)(U_c - U) \Rightarrow U = \frac{\Delta\rho}{\rho + \Delta\rho} U_c \\ (p + \Delta p) - p &= \rho U_c [U_c - (U_c - U)] \Rightarrow \\ &\Rightarrow \Delta p = \rho U_c U \end{aligned}$$

$$\boxed{U_c^2 = \left(1 + \frac{\Delta\rho}{\rho}\right) \left(\frac{\Delta p}{\Delta\rho}\right) \xrightarrow{\Delta\rho/\rho \approx 0} c^2}$$

Αγνοήθηκαν μεταβολές θερμοκρασίας

Κύρια χαρ/κά ασυμπίεστης ροής

- Ακαριαία διάδοση μεταβολών πίεσης
- Ομαλή παράκαμψη σωμάτων

Κύρια φαινόμενα συμπίεστότητας

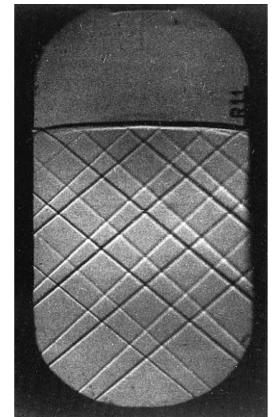
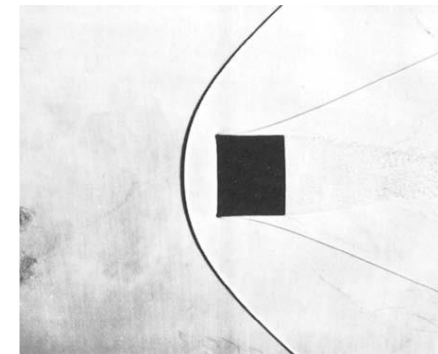
- Στραγγαλισμός ροής (choking)
- Παράκαμψη σωμάτων με κρουστικά κύματα (shock waves)

Όμως

- Ακουστική
- Φυσική συναγωγή



ΚΡΟΥΣΤΙΚΑ ΚΥΜΑΤΑ



Χαρακτηριστικά συμπίεστων ροών

- Τα αέρια όταν συμπιέζονται/εκτονώνονται θερμαίνονται/ψύχονται
- Διαταραχές διαδίδονται με την ταχύτητα του ήχου
- Σταδιακές μεταβολές είναι ισεντροπικές
- Αύξηση εντροπίας λόγω τριβών ή κρουστικών κυμάτων

Ισεντροπική συμπίεστη ροή σε ακροφύσια

Ιδιότητες ιδανικών αερίων ($p = \rho RT, R = \frac{\mathcal{R}}{M}$)

$$c = \left(\frac{\partial p}{\partial \rho} \right)_s^{1/2} = \sqrt{\gamma RT}, \quad \gamma = C_p / C_v$$

Για ισεντροπικές (αδιαβατικές+αντιστρεπτές) μεταβολές

$$T_0, p_0, \rho_0: \text{ιδιότητες ανακοπής: } \frac{p_0}{p} = \left(\frac{T_0}{T} \right)^{\gamma/(\gamma-1)}, \quad \frac{\rho_0}{\rho} = \left(\frac{T_0}{T} \right)^{1/(\gamma-1)}$$

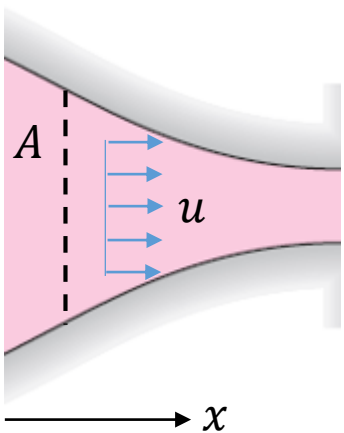
Ισοζύγιο ενέργειας

$$C_p T + \frac{1}{2} u^2 = C_p T_0 \Rightarrow \boxed{\frac{T_0}{T} = 1 + \frac{\gamma - 1}{2} Ma^2}$$

$$T_*, p_*, \rho_*: \text{κρίσιμες ιδιότητες: } \frac{T_*}{T_0} = \frac{2}{\gamma + 1}, \quad \frac{p_*}{p_0} = \left(\frac{2}{\gamma + 1} \right)^{\gamma/(\gamma-1)}$$

$$\frac{\rho_*}{\rho_0} = \left(\frac{2}{\gamma + 1} \right)^{1/(\gamma-1)}$$

Εκτόνωση μέσω ακροφυσίου



Εξίσωση συνέχειας

$$\dot{m} = \rho u A \Rightarrow \frac{d\rho}{\rho} + \frac{du}{u} + \frac{dA}{A} = 0$$

Ισοζύγιο ενέργειας

$$C_p dT + u du = 0 \quad \text{ή} \quad \frac{dp}{\rho} + u du = 0$$

Ταχύτητα ήχου

$$dp = c^2 d\rho$$

Μεταβολή u, p με τη διατομή ροής

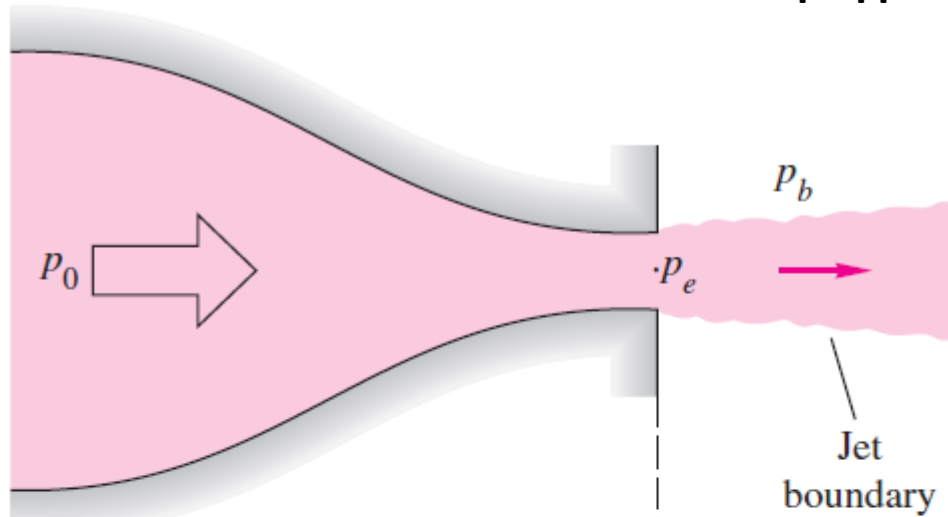
$$\boxed{\frac{du}{u} = \frac{dA}{A} \frac{1}{Ma^2 - 1} = -\frac{dp}{\rho u^2}}$$

Αντίθετη συμπεριφορά για $Ma < 1$ και $Ma > 1$

Όταν $Ma = 1 \Rightarrow dA = 0$

Διαρροές και Βαλβίδες ασφαλείας

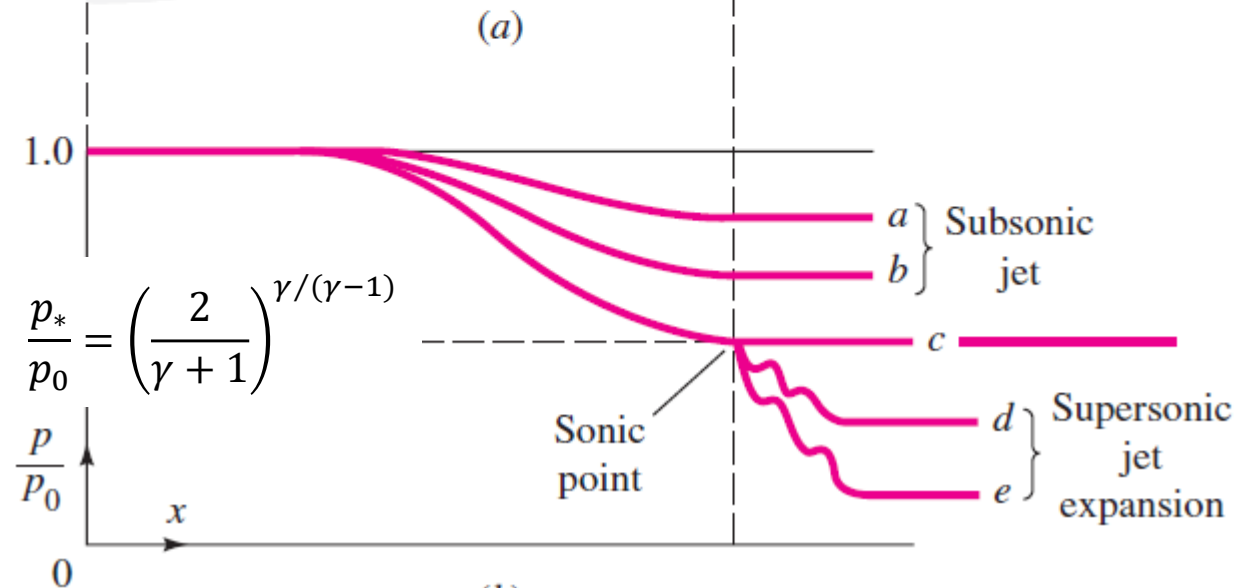
Στραγγαλισμός της ροής: Μείωση πίεσης \Rightarrow μείωση πυκνότητας \Rightarrow αύξηση ταχύτητας



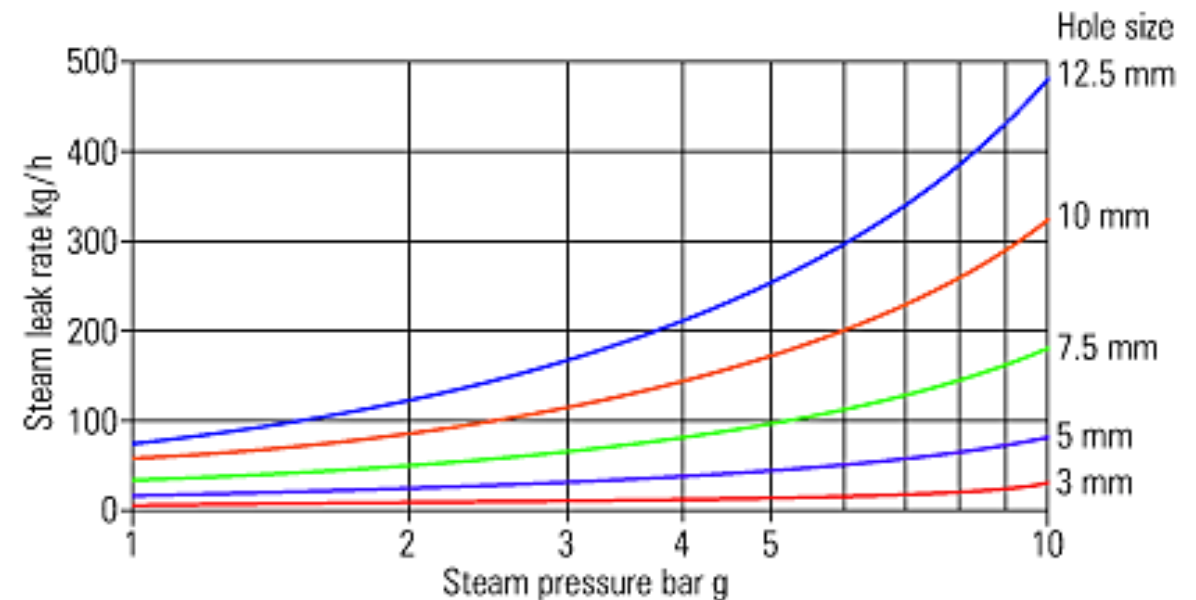
Ιδανικό αέριο- Ασυμπίεστο υγρό

$$\dot{m}_{max} = \rho_* A_* u_* = \rho_* A_{thr} c_* = A_{thr} \frac{p_0}{\sqrt{RT_0}} \sqrt{\gamma \left(\frac{2}{\gamma + 1} \right)^{(\gamma+1)/(\gamma-1)}}$$

$$\dot{m}_{max} = A_{thr} \sqrt{2\rho (p_0 - p_b)}$$



Διαφυγή ατμού



2010 ASME Boiler and Pressure Vessel Code

AN INTERNATIONAL CODE

Pressure Relief Devices

UG-125	General
UG-126	Pressure Relief Valves.....
UG-127	Nonreclosing Pressure Relief Devices
UG-128	Liquid Pressure Relief Valves
UG-129	Marking.....
UG-130	Code Symbol Stamp.....
UG-131	Certification of Capacity of Pressure Relief Devices
UG-132	Certification of Capacity of Pressure Relief Valves in Combination With Nonreclosing Pressure Relief Devices.....
UG-133	Determination of Pressure Relieving Requirements
UG-134	Pressure Settings and Performance Requirements.....
UG-135	Installation
UG-136	Minimum Requirements for Pressure Relief Valves.....
UG-137	Minimum Requirements for Rupture Disk Devices
UG-138	Minimum Requirements for Pin Devices
UG-140	Overpressure Protection by System Design

For tests with air,

$$W_T = 356AP \sqrt{\frac{M}{T}}$$

For tests with natural gas,

$$W_T = CAP \sqrt{\frac{M}{ZT}}$$

For tests with water,

$$W_T = 2407A \sqrt{(P - P_d)w}$$

where

A = actual discharge area through the device at developed lift, sq in.

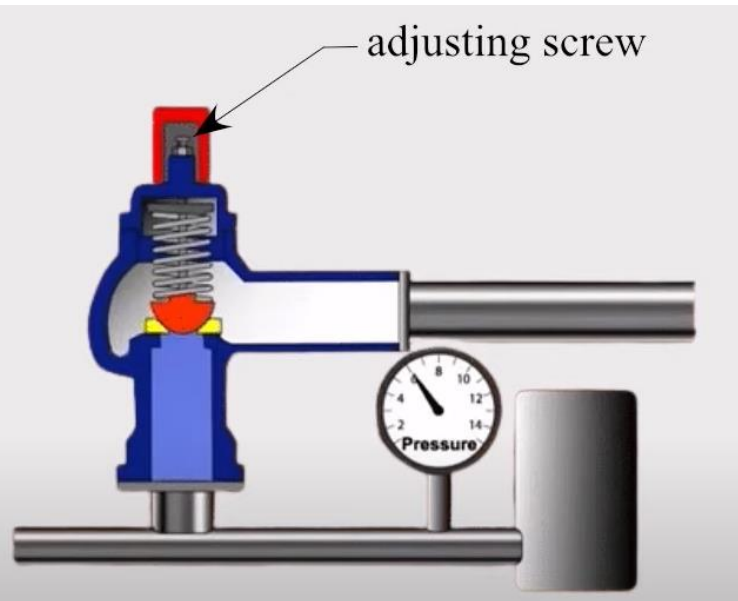
C = constant for gas or vapor based on the ratio of specific heats

$k = c_p/c_v$ (see Fig. 11-1)

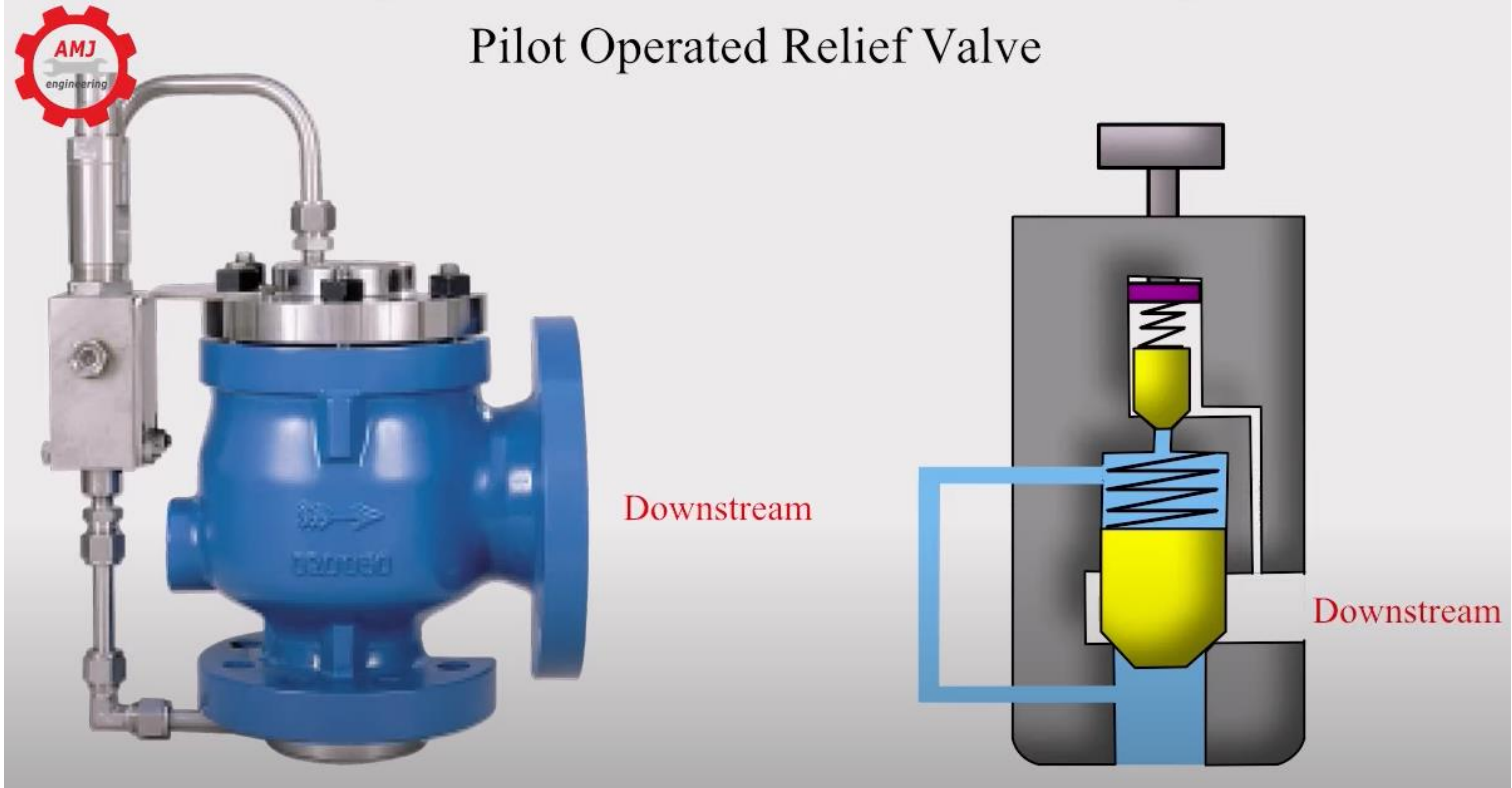
M = molecular weight



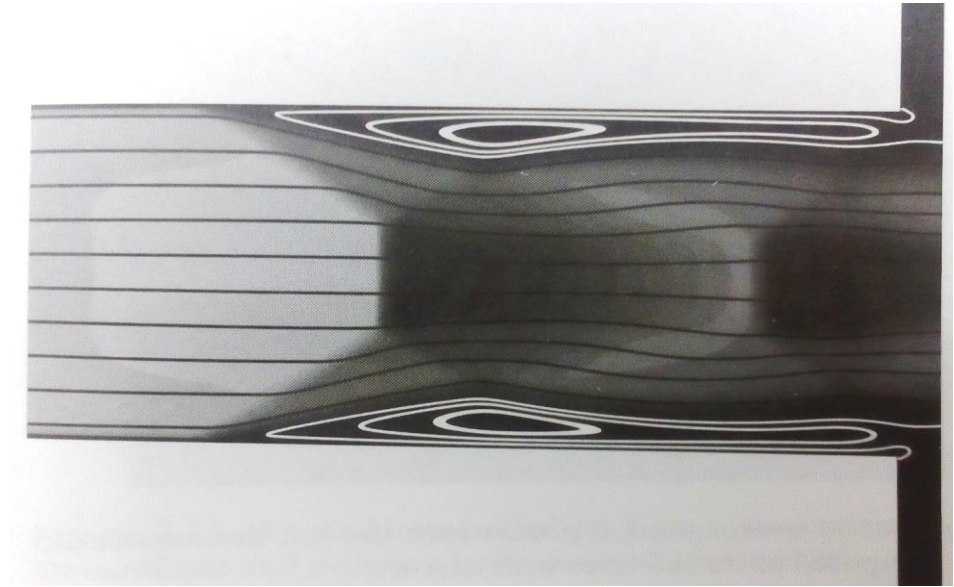
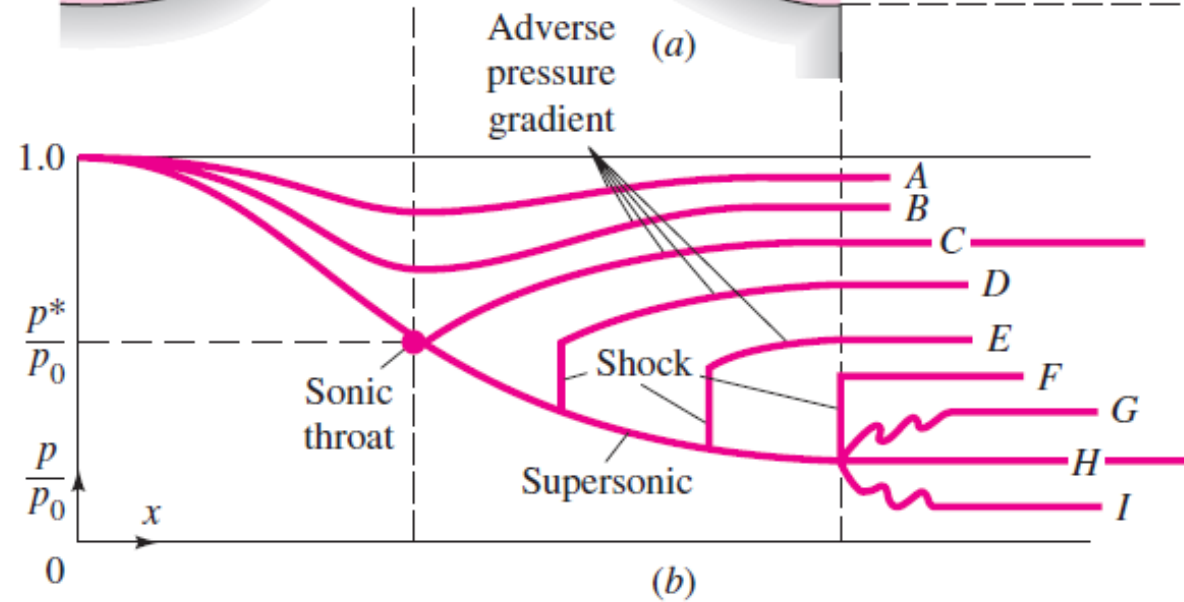
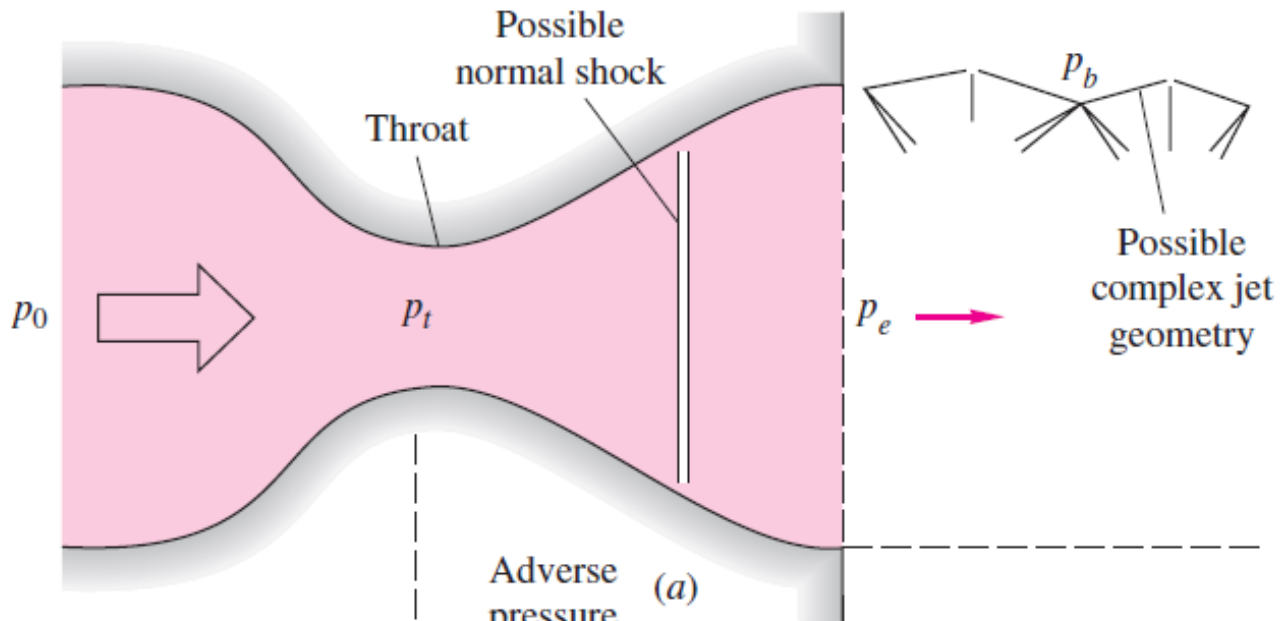
adjusting screw



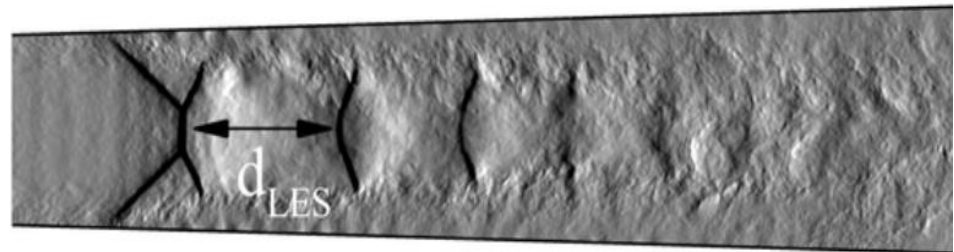
Pilot Operated Relief Valve



Ακροφύσιο deLaval



$$\frac{A}{A_*} = \frac{1}{Ma} \sqrt{\left[\frac{2 + (\gamma - 1)Ma^2}{\gamma + 1} \right]^{(\gamma+1)/(\gamma-1)}}$$



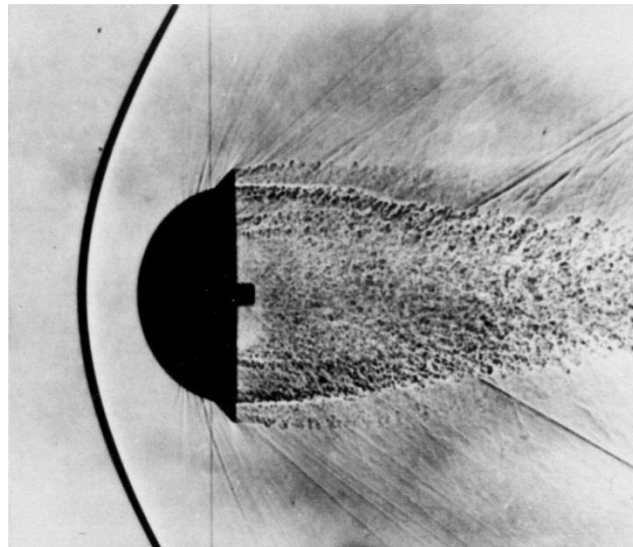
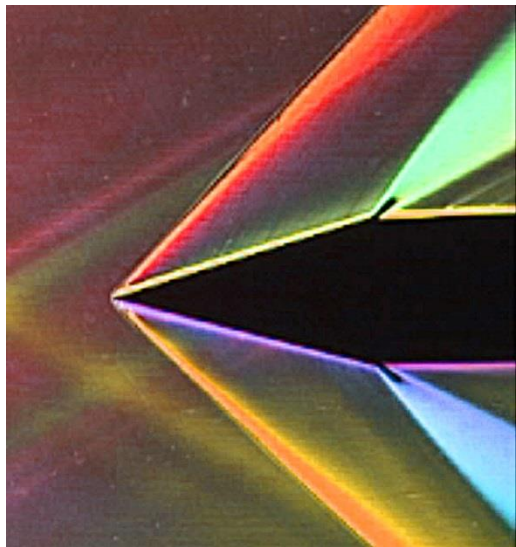
Αλληλεπίδραση ροής-εμποδίου

Ασυμπίεστη ροή ($c = \infty$): Το πεδίο πίεσης διαδίδεται ακαριαία (ελλειπτική συμπεριφορά) \rightarrow Η ροή εκτρέπεται ομαλά

Υπερηχητική ροή ($c < \infty, u > c$): Διαταραχές διαδίδονται με την ταχύτητα του ήχου. (υπερβολική συμπεριφορά) \rightarrow Το εμπόδιο κατάντη δεν επηρεάζει τη ροή

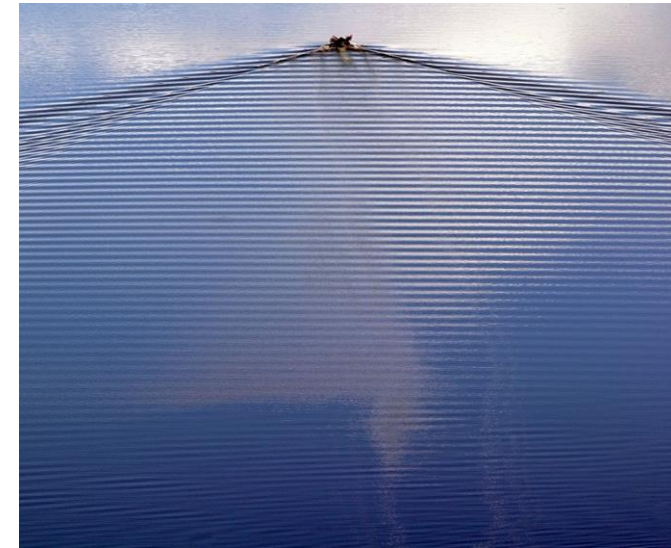
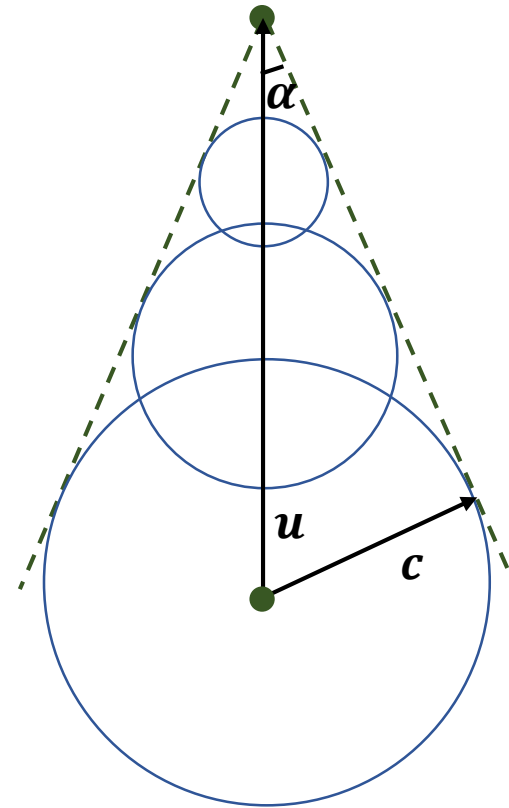
Κρουστικό κύμα

Δημιουργείται όταν η ροή δεν μπορεί να εκτραπεί ομαλά (ισεντροπικά)

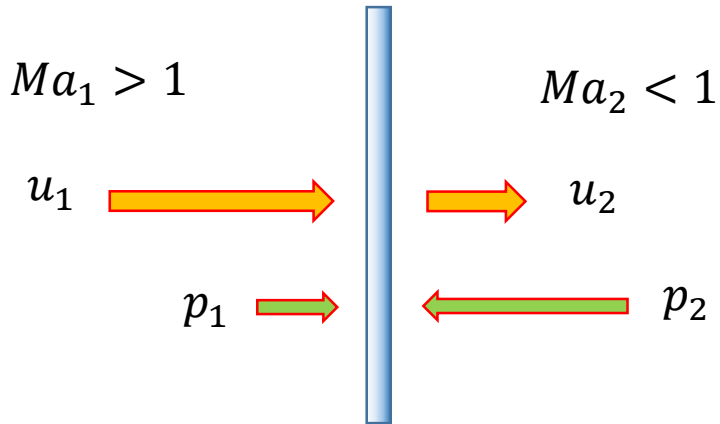


Κύματα Mach-Κώνος επιρροής

$$\sin \alpha = \frac{c}{u} = \frac{1}{Ma}$$



Συστήματα αναφοράς με το βλήμα κινούμενο ή ακίνητο (στάσιμο κρουστικό κύμα)



- Ισχύουν οι ατριβείς εξισώσεις ($Re \gg 1$)
- Η επίδραση του ιξώδους περιορίζεται στο κρουστικό κύμα (ασυνέχεια)

$$u_1 = Ma_1 c_1$$

- Ταχύτητα προσέγγισης ροής σε στάσιμο κρουστικό κύμα
- Ταχύτητα διάδοσης κρουστικού κύματος

$$Ma_1 \rightarrow 1 \Rightarrow S_2 - S_1 \sim (Ma_1 - 1)^3$$

Ισοζύγιο μάζας

$$\rho_1 u_1 = \rho_2 u_2$$

Ισοζύγιο ορμής

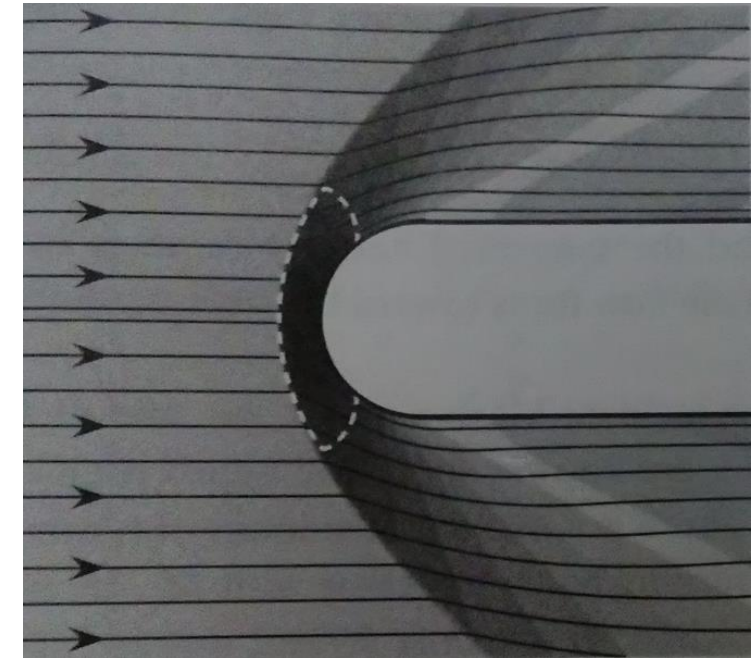
$$p_1 + \rho_1 u_1^2 = p_2 + \rho_2 u_2^2$$

Ισοζύγιο ενέργειας

$$h_1 + \frac{1}{2} u_1^2 = h_2 + \frac{1}{2} u_2^2$$

$$p = \rho RT, h = C_p T = \frac{\gamma}{\gamma - 1} \frac{p}{\rho}$$

$$Ma_2^2 = \frac{2 + (\gamma - 1)Ma_1^2}{2\gamma Ma_1^2 - (\gamma - 1)}$$



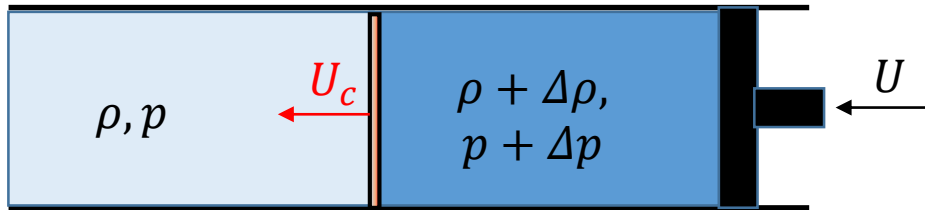
$$\frac{p_2}{p_1} = 1 + \frac{2\gamma}{\gamma + 1} (Ma_1^2 - 1)$$

$$\frac{\rho_2}{\rho_1} = \frac{u_1}{u_2} = \frac{(\gamma + 1)Ma_1^2}{2 + (\gamma - 1)Ma_1^2}$$

$$\frac{T_2}{T_1} = \frac{p_2 \rho_1}{p_1 \rho_2} \quad (u_2 = Ma_2 c_2)$$

Παράδειγμα διάδοσης κύματος έκρηξης

Έκρηξη στον αέρα, θερμοκρασίας 25°C, δημιουργεί κρουστικό κύμα. Αν μία στιγμή η πίεση στο χώρο έκρηξης είναι 12 atm, υπολογίστε την ταχύτητα διάδοσης του κύματος και την ταχύτητα του αέρα που ακολουθεί το κύμα.



Για αέρα $\gamma = 1,4$ $R = 286,7 \text{ J/kgK}$

$$\frac{p_2}{p_1} = 1 + \frac{2\gamma}{\gamma + 1} (Ma_1^2 - 1)$$

$$\frac{p_2}{p_1} = 12 \Rightarrow Ma_1 = 3,229$$

$$c_1 = \sqrt{\gamma RT_1} = 346 \text{ m/s}$$

$$u_1 \equiv U_c = Ma_1 c_1 = 1117 \text{ m/s}$$

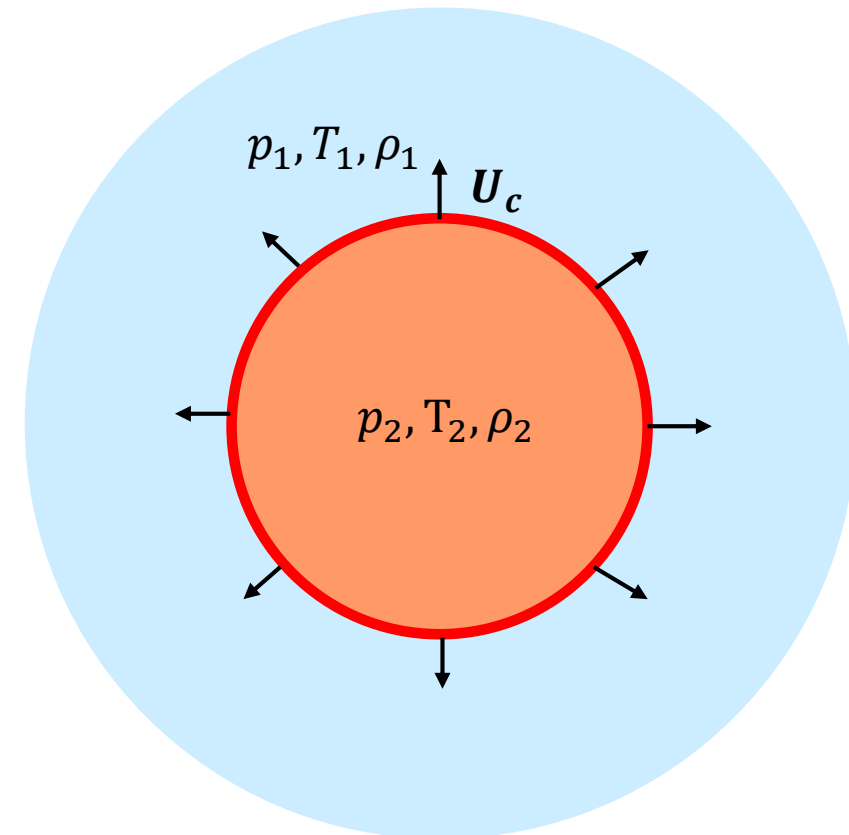
$$\frac{\rho_2}{\rho_1} = \frac{(\gamma + 1)Ma_1^2}{2 + (\gamma - 1)Ma_1^2} = 4,05 \Rightarrow$$

$$U = \frac{\rho_2 - \rho_1}{\rho_2} U_c = 841 \text{ m/s}$$

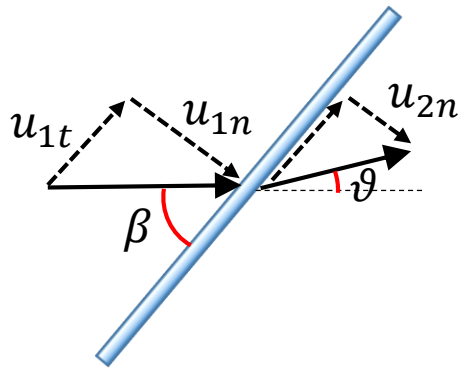
$$\rho U_c = (\rho + \Delta\rho)(U_c - U)$$

$$\Rightarrow U = \frac{\Delta\rho}{\rho + \Delta\rho} U_c$$

$$\rho \equiv \rho_1, (\rho + \Delta\rho) \equiv \rho_2$$



Πλάγιο κρουστικό κύμα



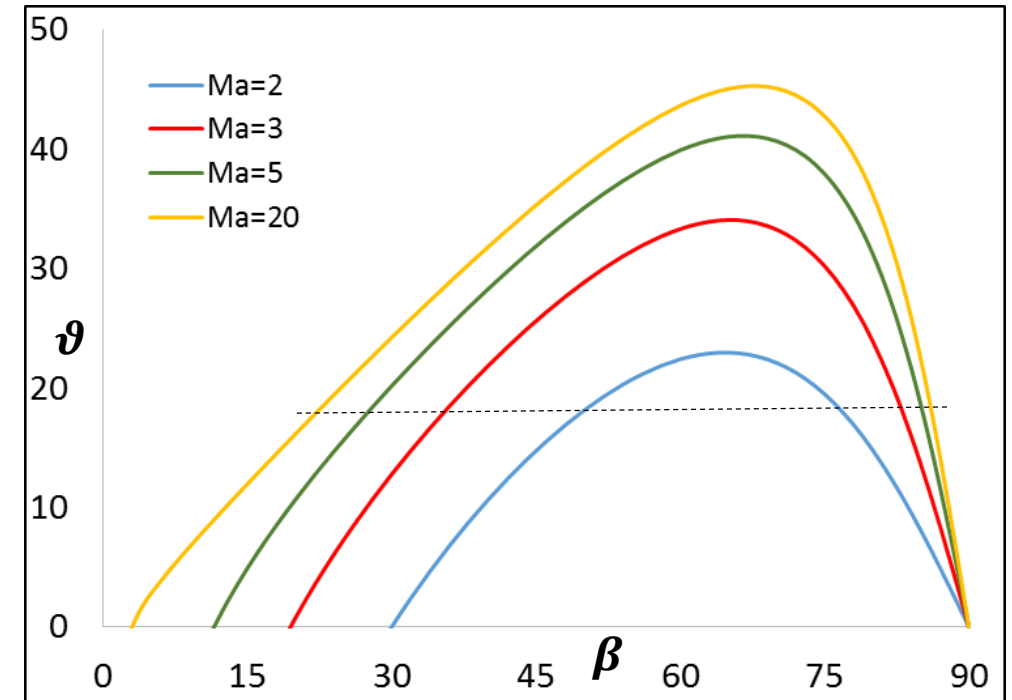
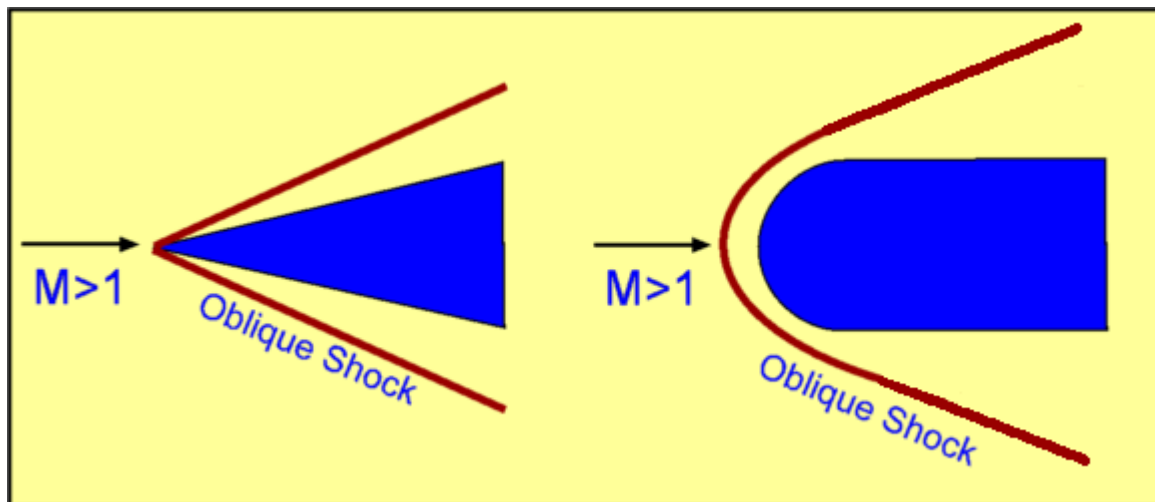
$$u_{1t} = u_{2t}$$

$$u_{1n} > u_{2n}$$

$$Ma_1 \rightarrow Ma_{1n} = Ma_1 \sin \beta$$

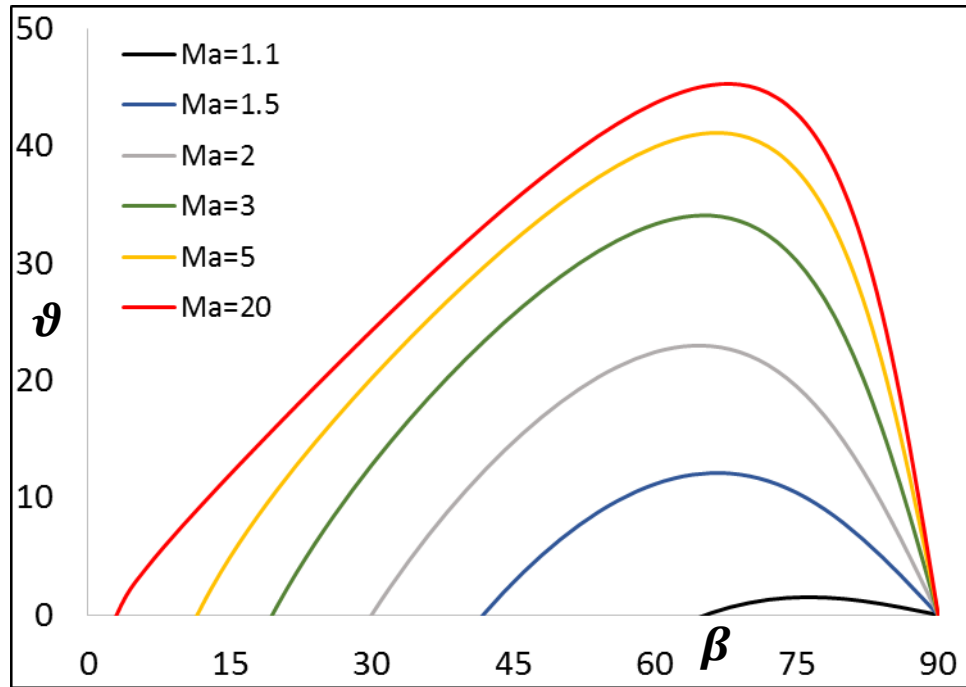
ϑ : Γωνία εκτροπής

$$\frac{u_{1n}}{u_{2n}} = \frac{\rho_2}{\rho_1} = \frac{(\gamma + 1)(Ma_1 \sin \beta)^2}{2 + (\gamma - 1)(Ma_1 \sin \beta)^2} = \frac{\tan \beta}{\tan(\beta - \vartheta)}$$

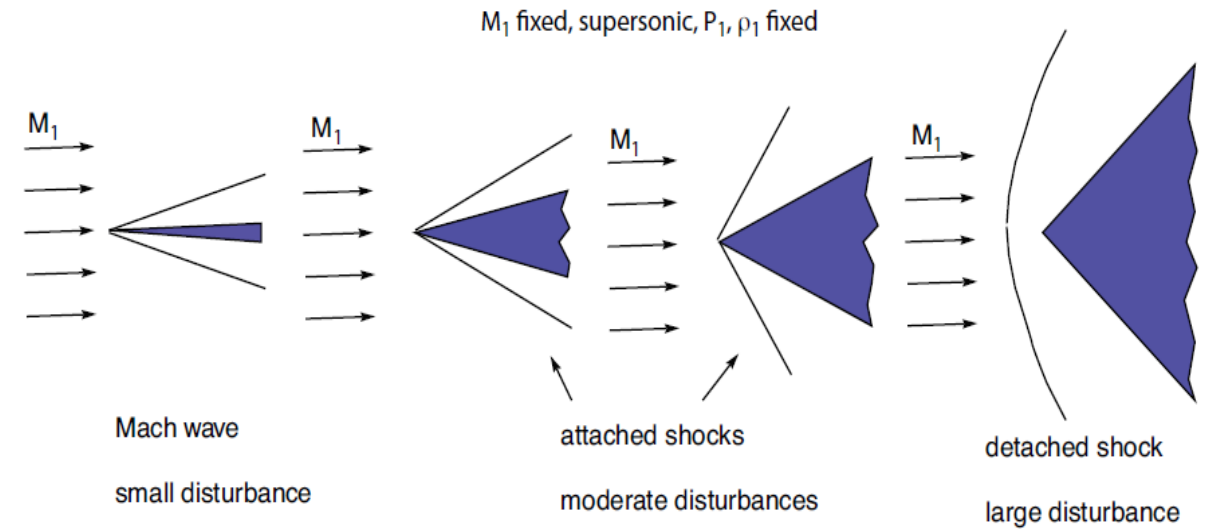


- Ασθενές ($Ma_2 > 1$) και ισχυρό ($Ma_2 < 1$) πλάγιο κρουστικό κύμα
- $\vartheta \rightarrow 0 \Rightarrow \beta = 90^\circ$ or $\beta \rightarrow \sin^{-1}(1/Ma_1) \equiv \alpha$
- Μέγιστη γωνία εκτροπής, ϑ_{max}
- Τι συμβαίνει για $\beta < \sin^{-1}(1/Ma_1) \Rightarrow \vartheta < 0$;

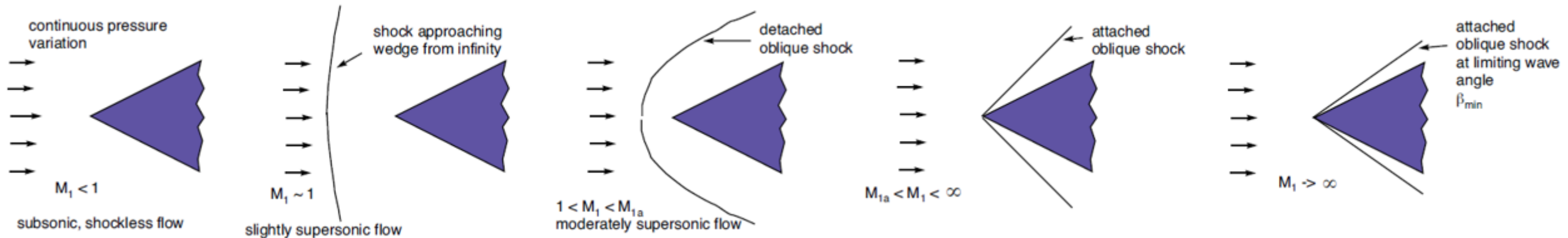
Εξάρτηση εκτροπής από αριθμό Mach και γωνία προσβολής



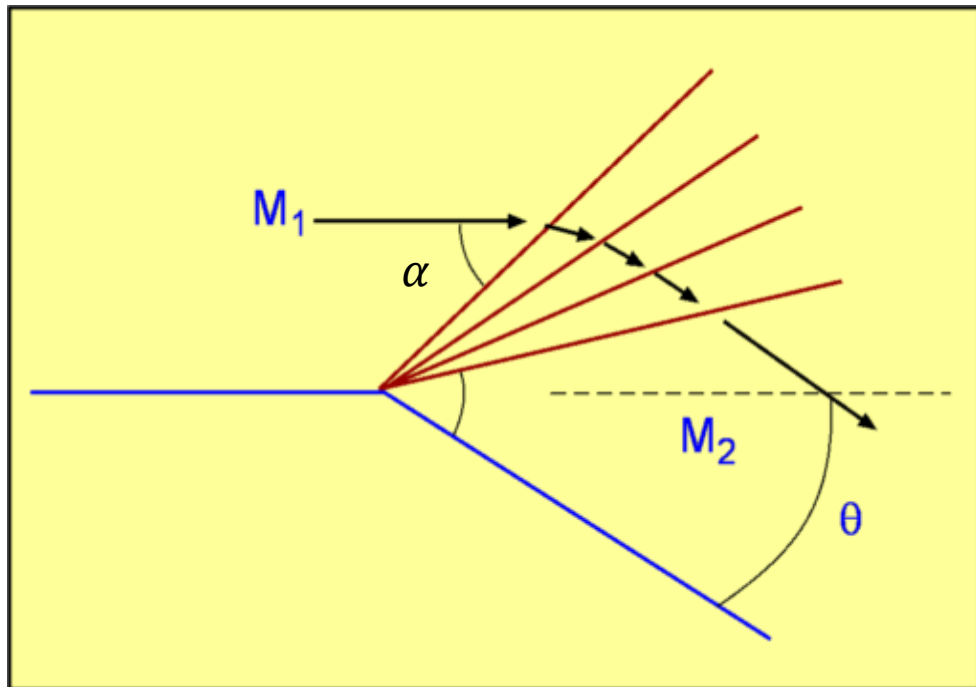
Αύξηση γωνίας σφήνας με σταθερό αριθμό Mach (Ma_1)



Αύξηση αριθμού Mach προσβολής (Ma_1)



Κύμα εκτόνωσης Prandtl-Meyer



Μικρή (αρνητική) γωνία εκτροπής μέσω αλληλουχίας κυμάτων Mach με σταδιακά μεταβαλλόμενη γωνία

$$\beta \approx \alpha = \sin^{-1}(1/M_1)$$

$$\frac{|u + du|}{|u|} = \frac{\cos \alpha}{\cos(\alpha - d\vartheta)} \approx 1 - \frac{d\vartheta}{\sqrt{1 - M^2}} \Rightarrow \frac{d|u|}{|u|} \approx \frac{-d\vartheta}{\sqrt{1 - M^2}}$$

Ισεντροπική μεταβολή

$$\frac{M + dM}{M} = \frac{|u + du|}{|u|} \sqrt{\frac{T}{T + dT}} = \frac{|u + du|}{|u|} \sqrt{\frac{2 + (\gamma - 1)(M + dM)^2}{2 + (\gamma - 1)M^2}}$$

$$\frac{dM}{M} = \frac{-d\vartheta}{\sqrt{1 - M^2}} + \frac{(\gamma - 1)M dM}{2 + (\gamma - 1)M^2} \Rightarrow$$

$$-\vartheta = \int_{M_1}^{M_2} \frac{2\sqrt{1 - M^2}}{2 + (\gamma - 1)M^2} \frac{dM}{M} = v(M_2) - v(M_1)$$

$$(M_1, \vartheta \rightarrow v(M_2) \rightarrow M_2)$$

$$v(M) = \sqrt{\frac{\gamma + 1}{\gamma - 1}} \tan^{-1} \sqrt{\frac{\gamma - 1}{\gamma + 1} (M^2 - 1)} - \tan^{-1} \sqrt{M^2 - 1}$$

Παραδείγματα αποκόλλησης λόγω κρουστικού κύματος

